



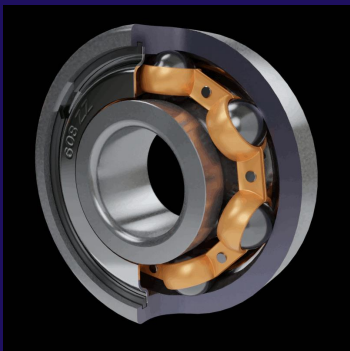
ESCOLA POLITÉCNICA DA UNIVERSIDADE DE SÃO PAULO

# Elementos de Máquinas para Automação

## PMR 3320 – A14

### Mancais de elementos rolantes

**2023.2**





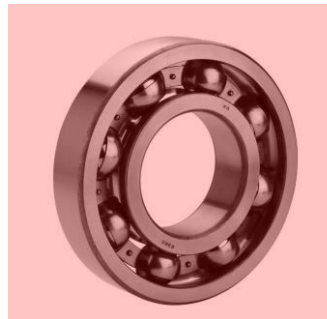
## Mancais

### classificação

Escorregamento



Rolamento



Fluídicos

Hidrodinâmicos



Hidrostáticos



Magnéticos





## Mancais de rolamento

### Exemplos





## Introdução

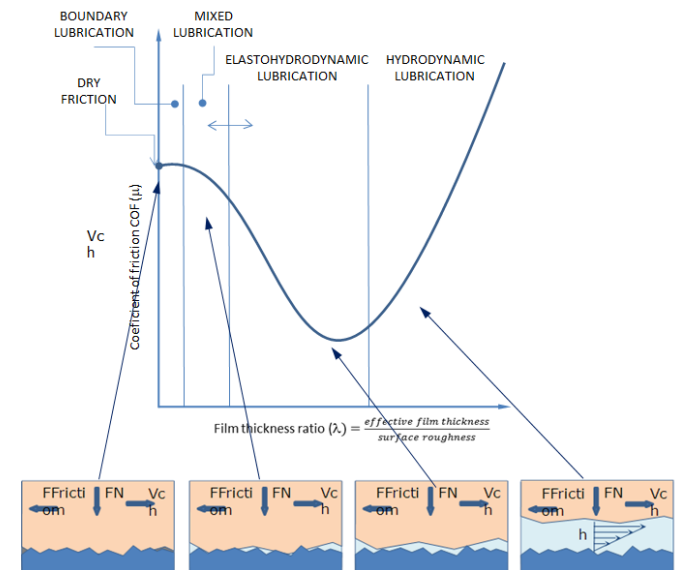
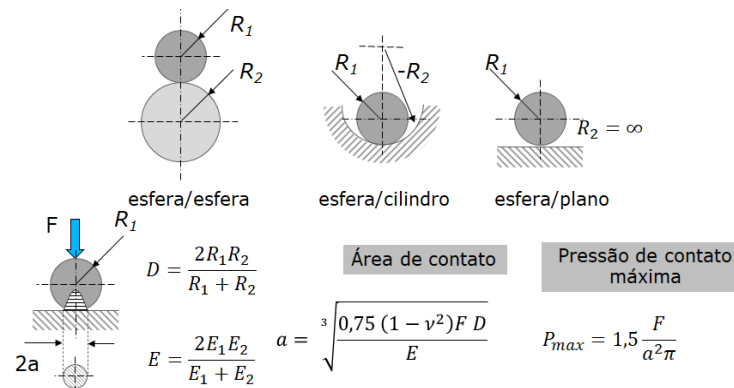
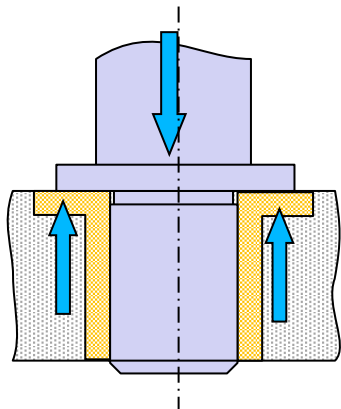
### Mancais de escorregamento



Mecânica dos sólidos

Contatos de Hertz

Curva de Stribeck



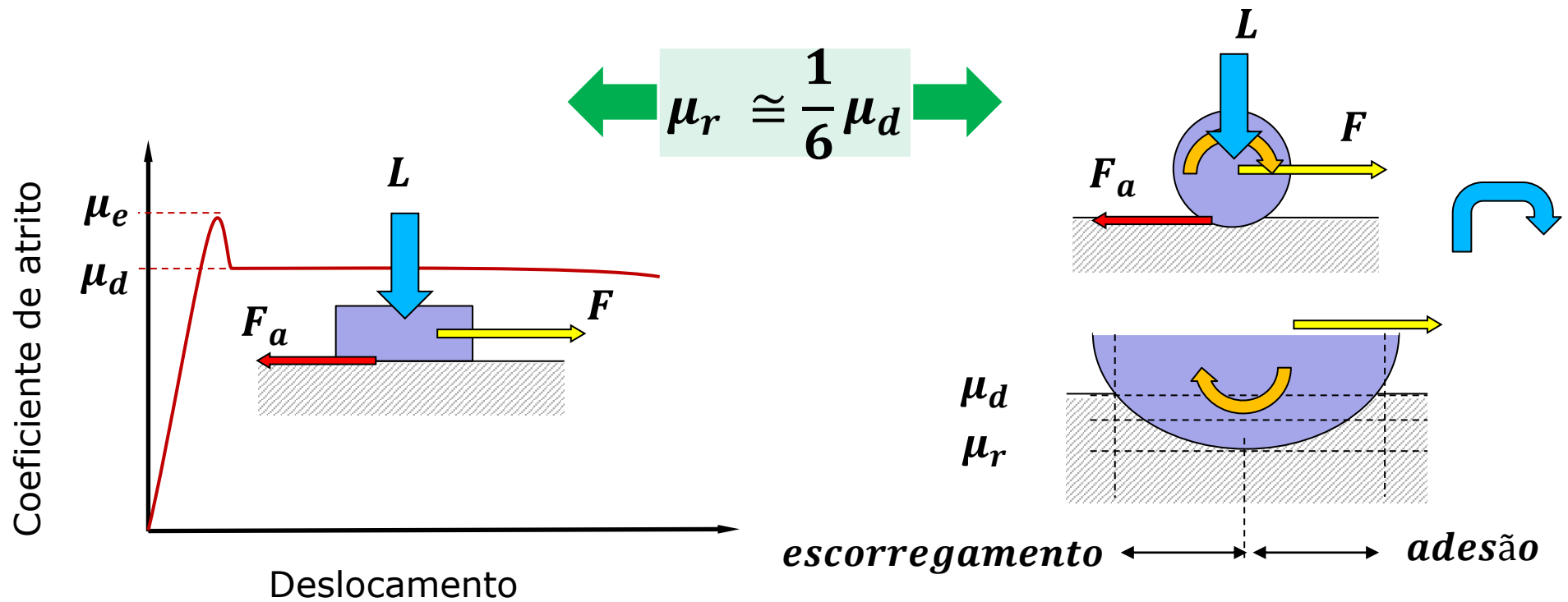


## Introdução

### Atrito

#### Atrito de escorregamento

#### Atrito de rolamento





## Mancais de rolamento

### Introdução

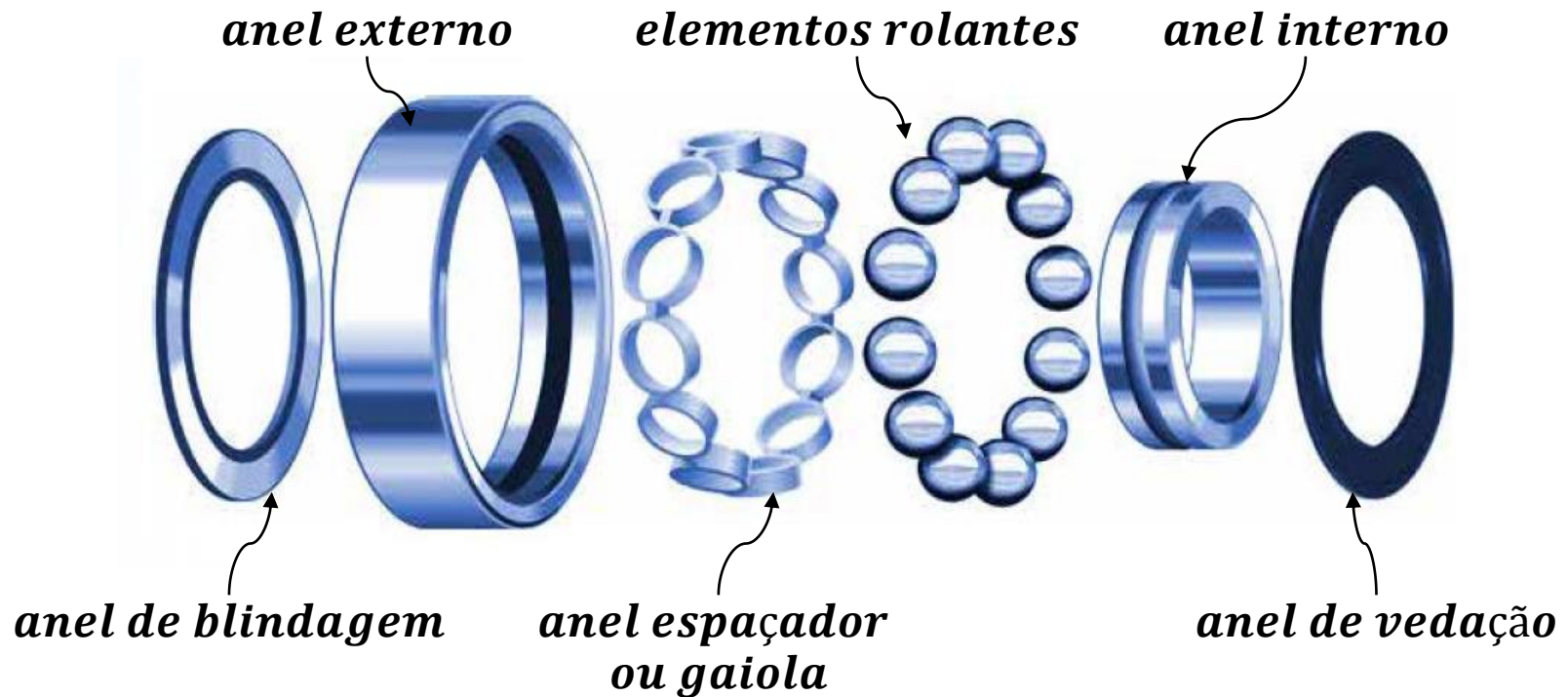
São os tipos de mancais mais utilizados, e são caracterizados por:

- Fácil movimentação
- Baixo atrito
- Elevado nível de padronização
- Baixo custo relativo



## Mancais de rolamento

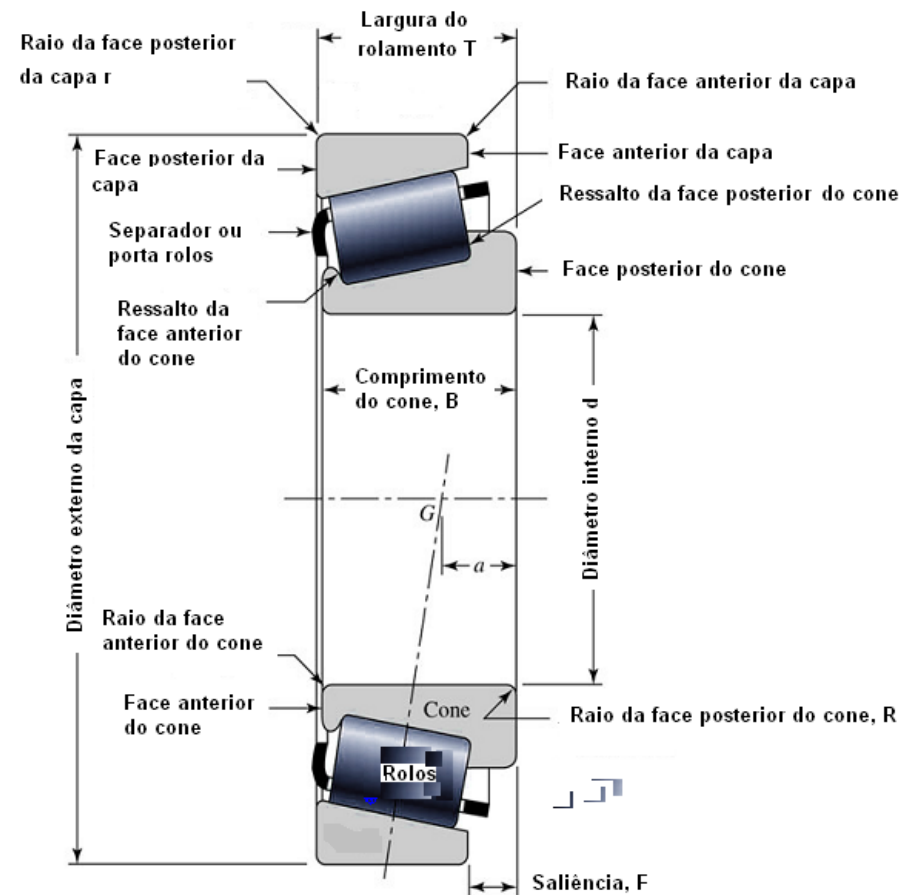
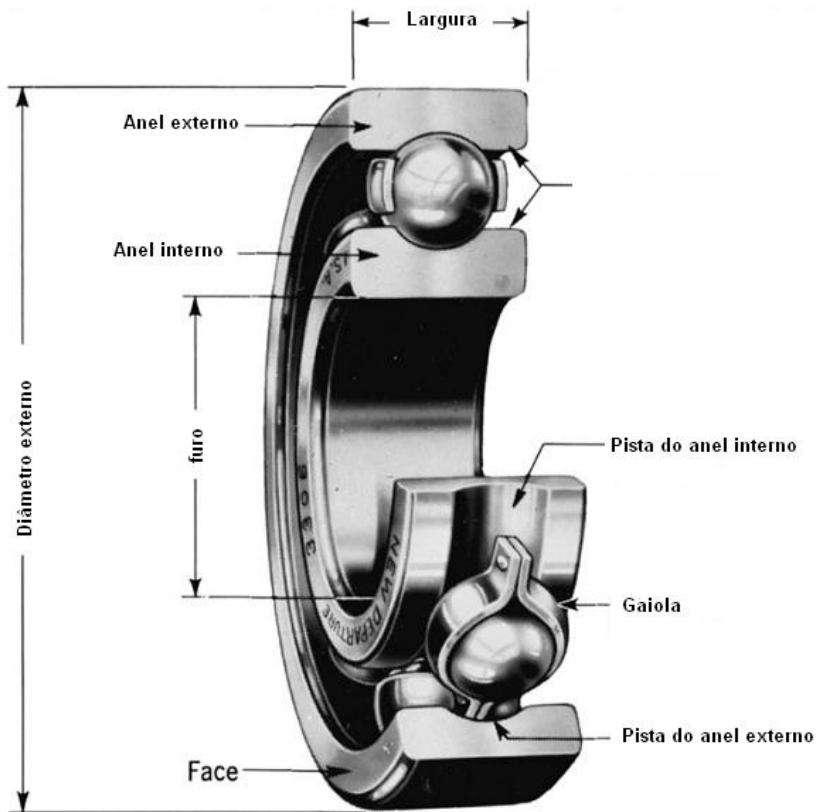
Constituintes





## Mancais de rolamento

### Nomenclatura





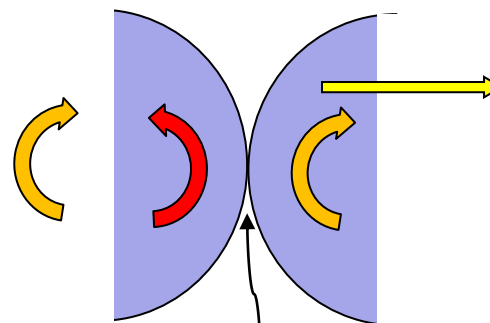
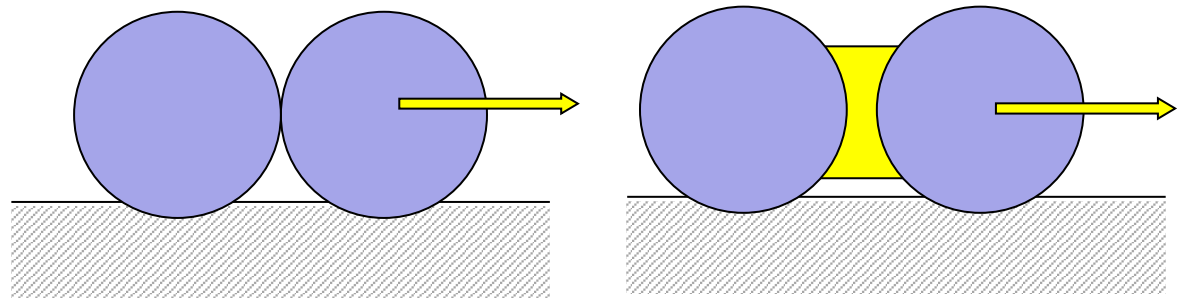


## Mancais de rolamento

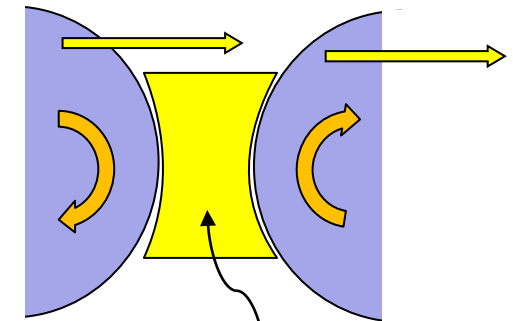
### Espaçador



anel espaçador  
ou gaiola



contato

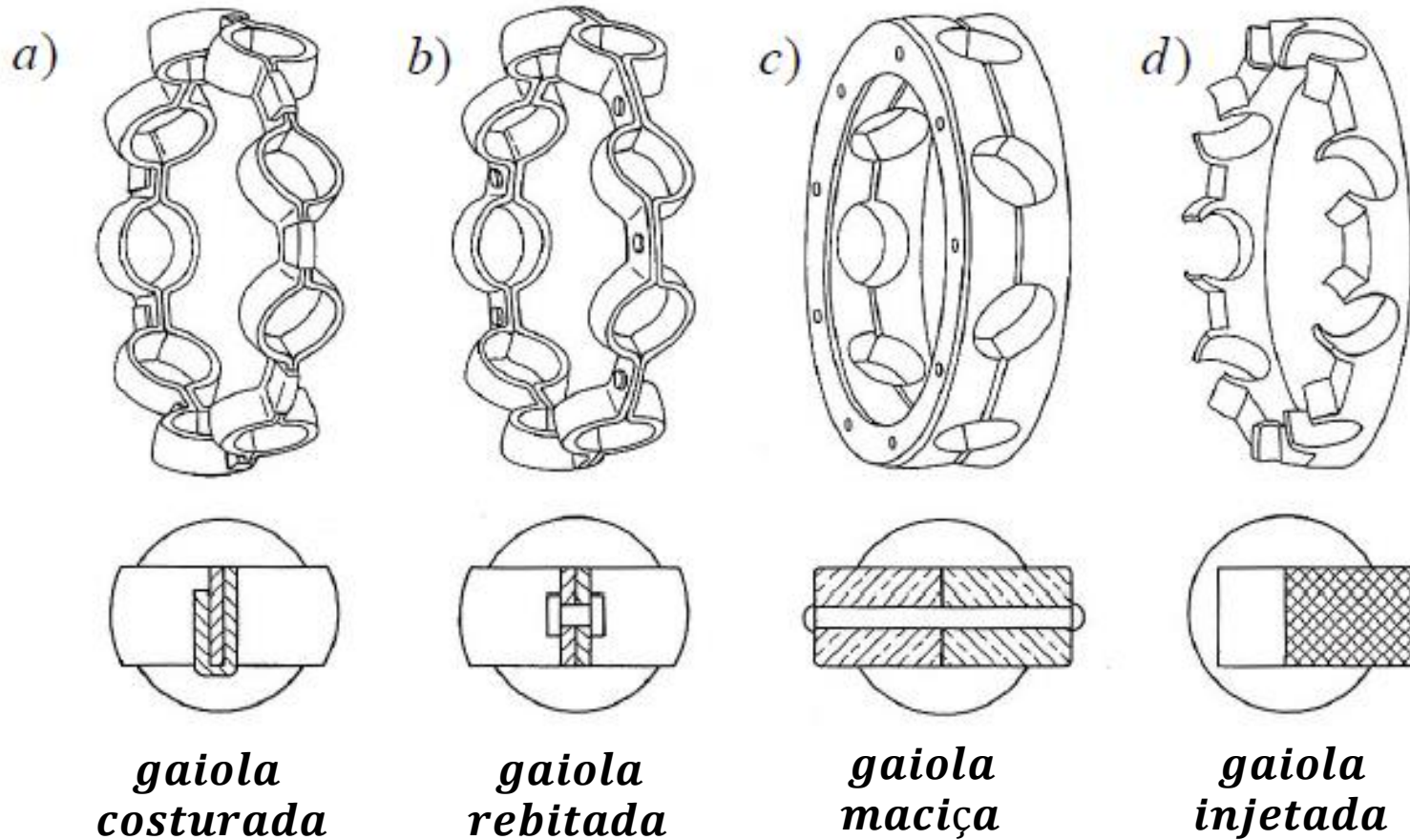


espaçador



## Mancais de rolamento

### Espaçador





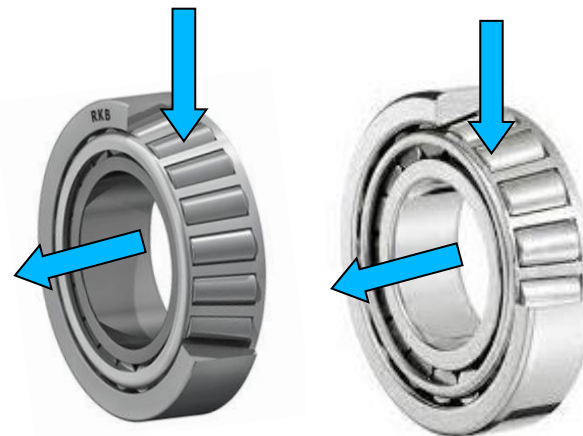
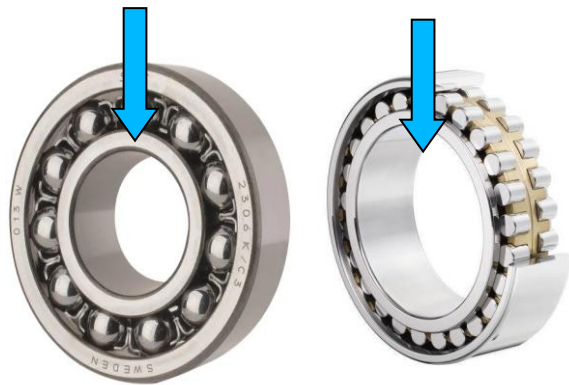
## Mancais de rolamento

Carregamentos

Radiais

Axiais

Radiais/Axiais





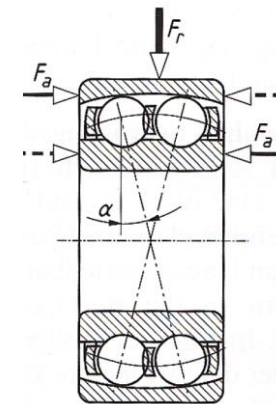
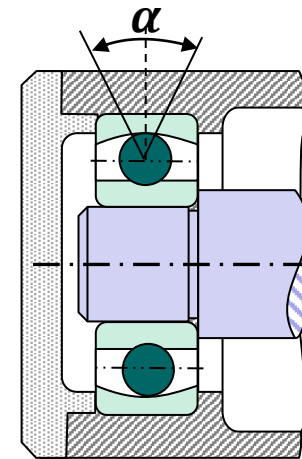
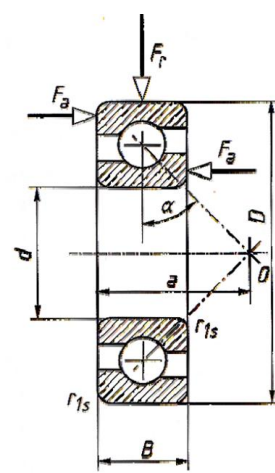
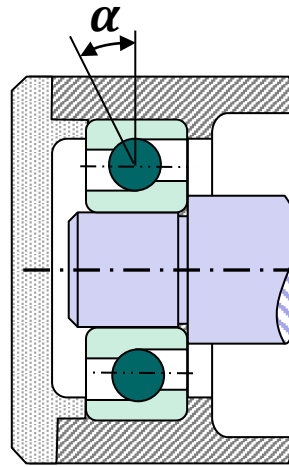
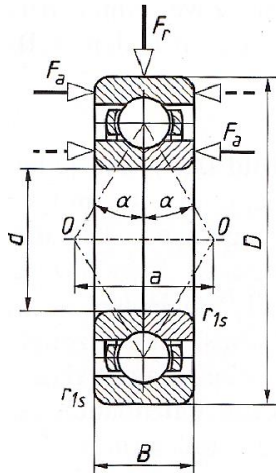
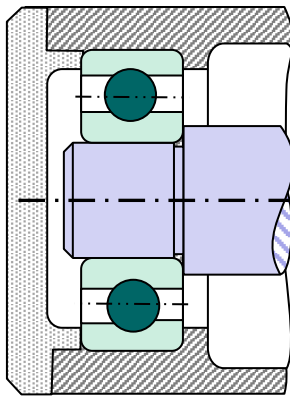
## Mancais de rolamento

### Radiais de esfera

rígidos

De contato angular

autocompensadores





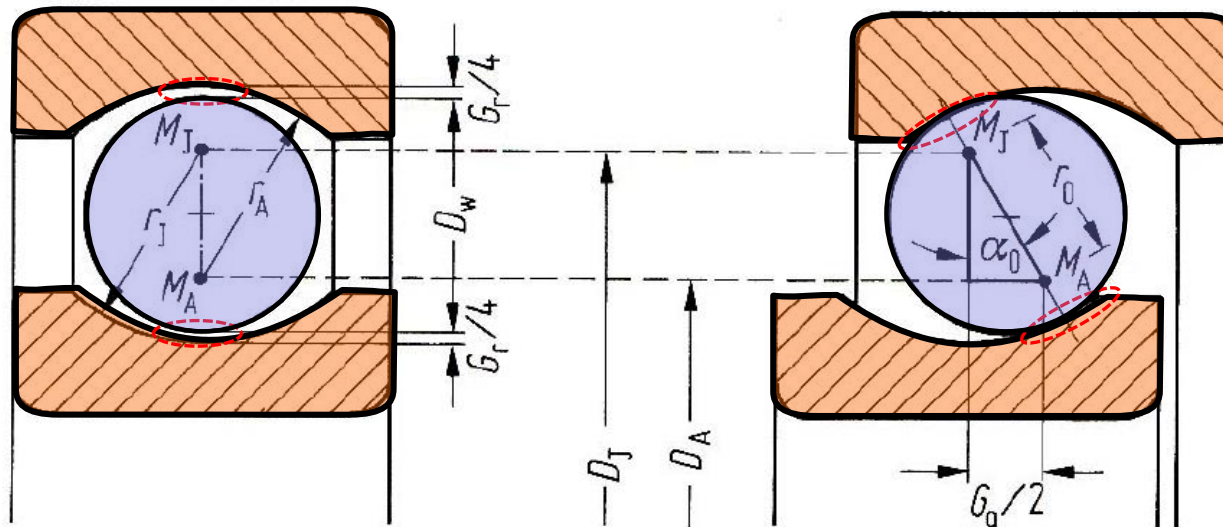
## Mancais de rolamento

Radiais de esfera

rígidos



De contato angular

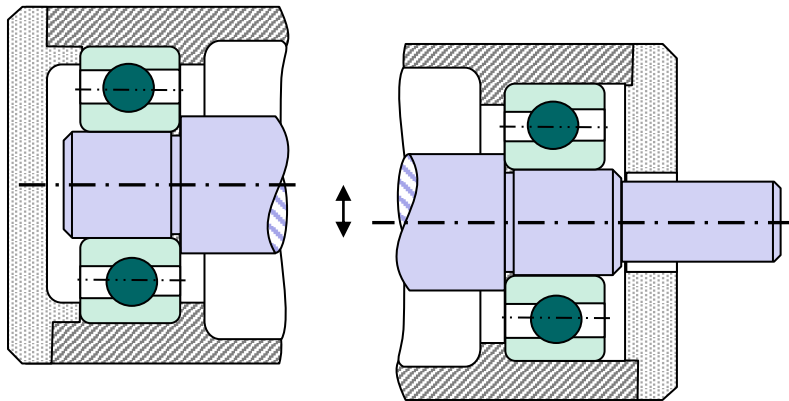




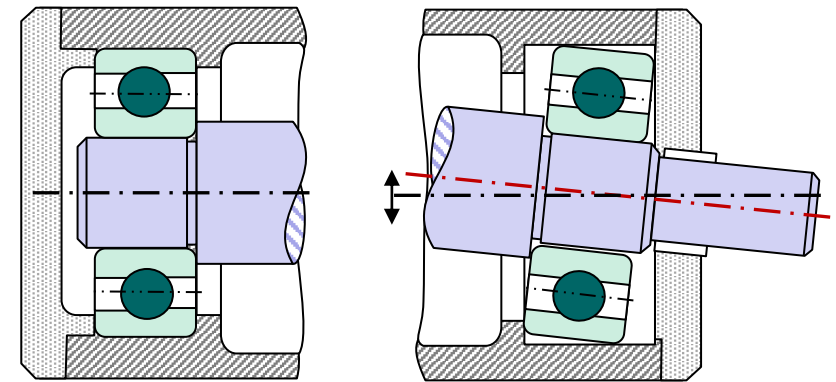
## Mancais de rolamento

Quando usar mancais autocompensadores

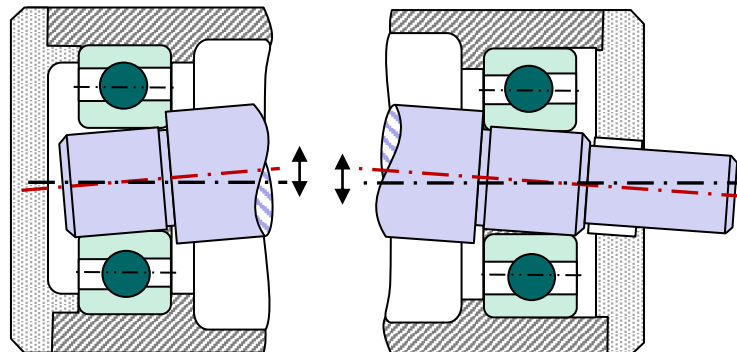
Desalinhamento



Montagem errada



Flexão dos eixos





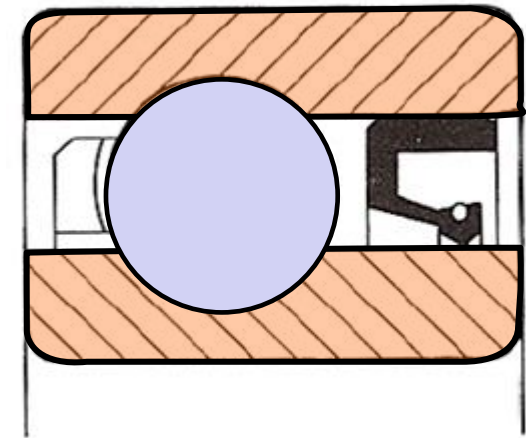
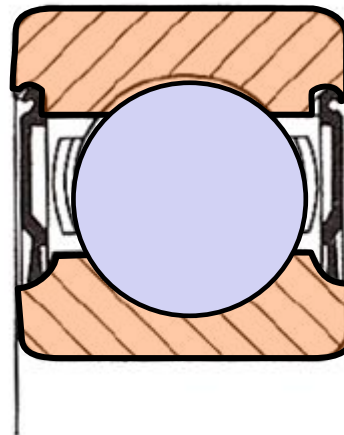
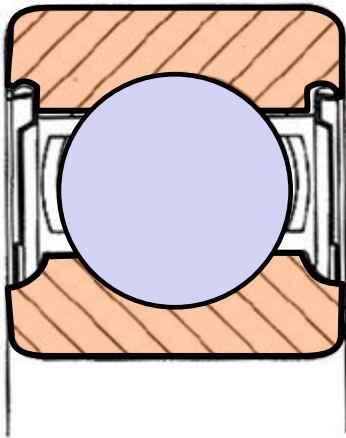
## Mancais de rolamento

proteção

vedados

blindados

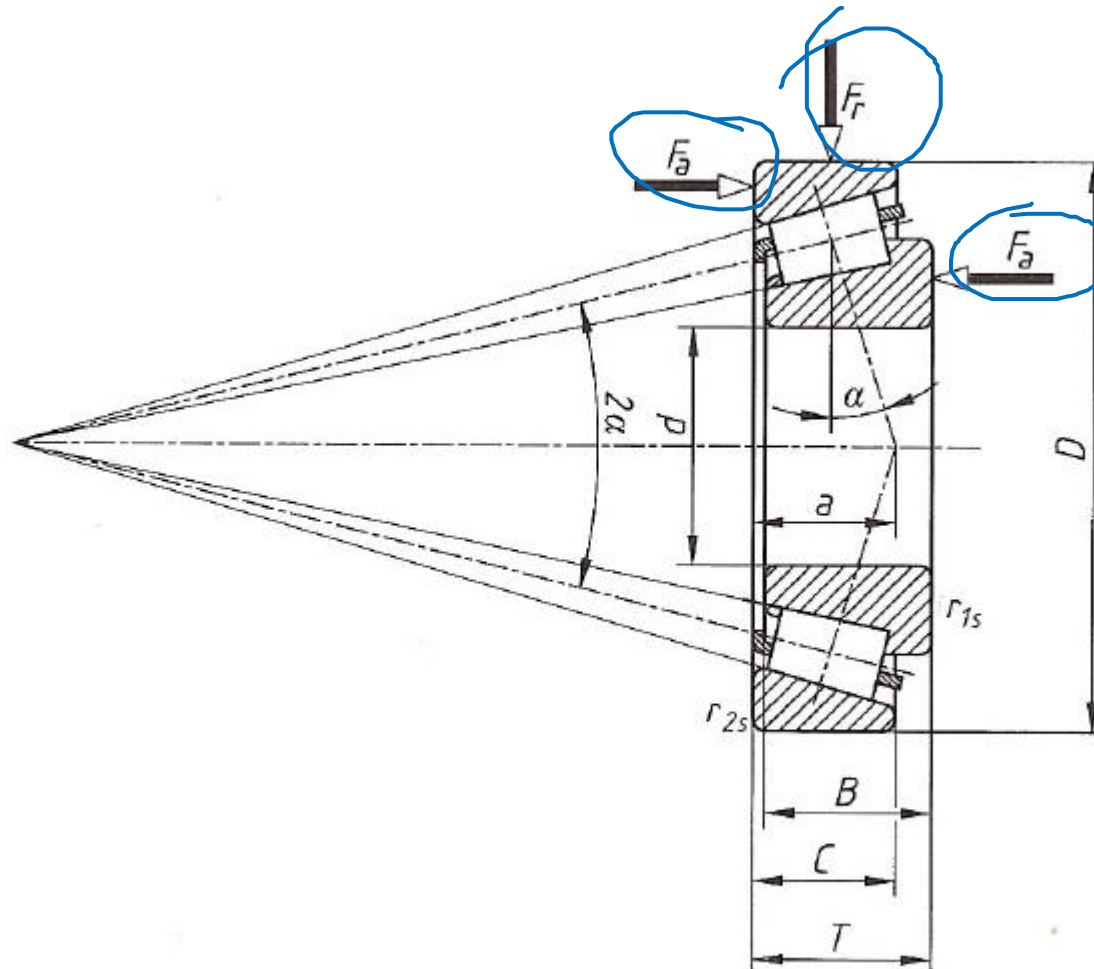
selados





## Mancais de rolamento

### Rolos cônicos

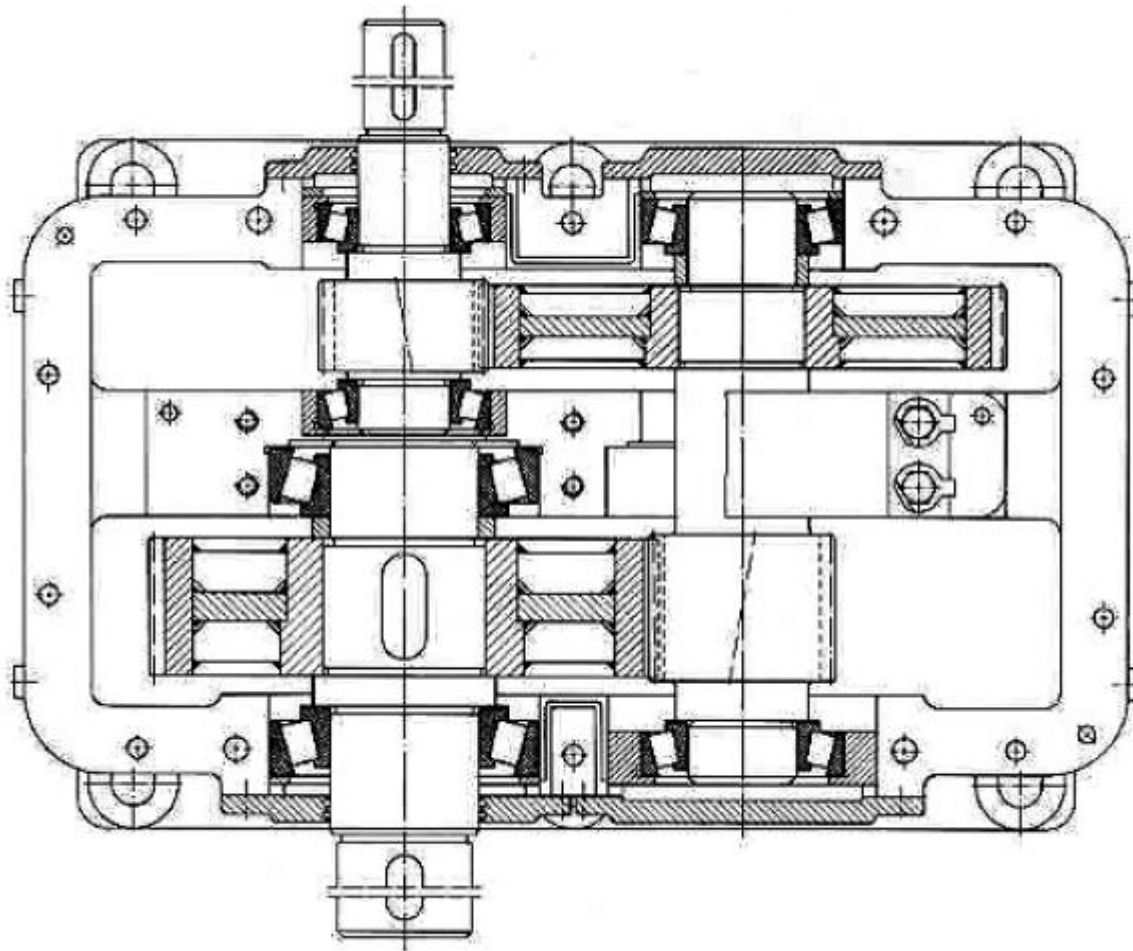






## Mancais de rolamento

Exemplo do uso de mancais de rolo cônicos



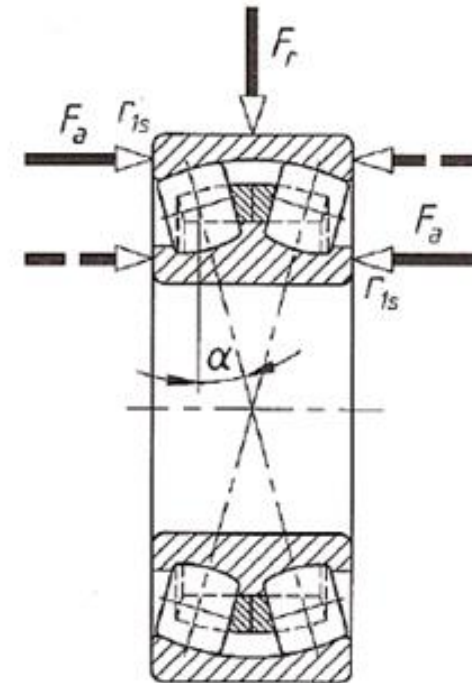
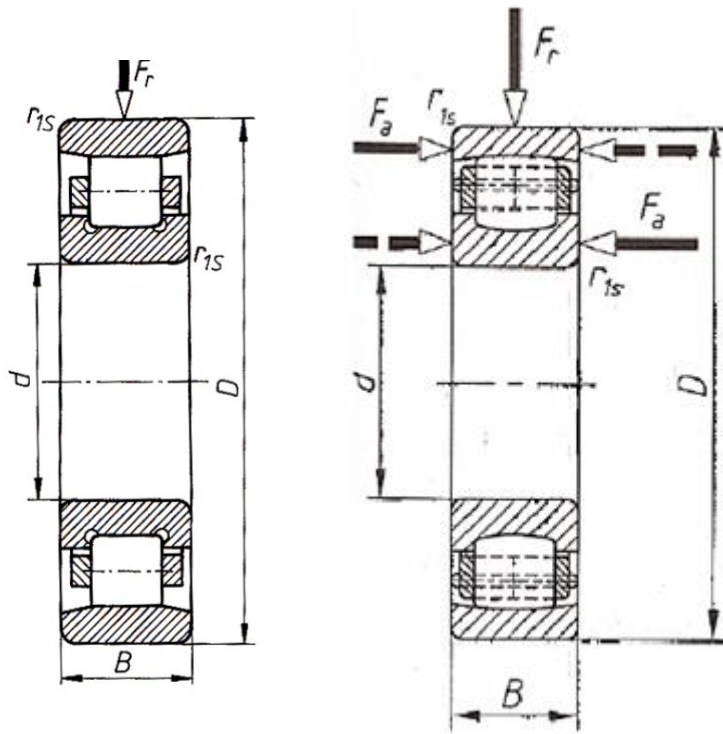


## Mancais de rolamento

de rolo radiais

rígidos

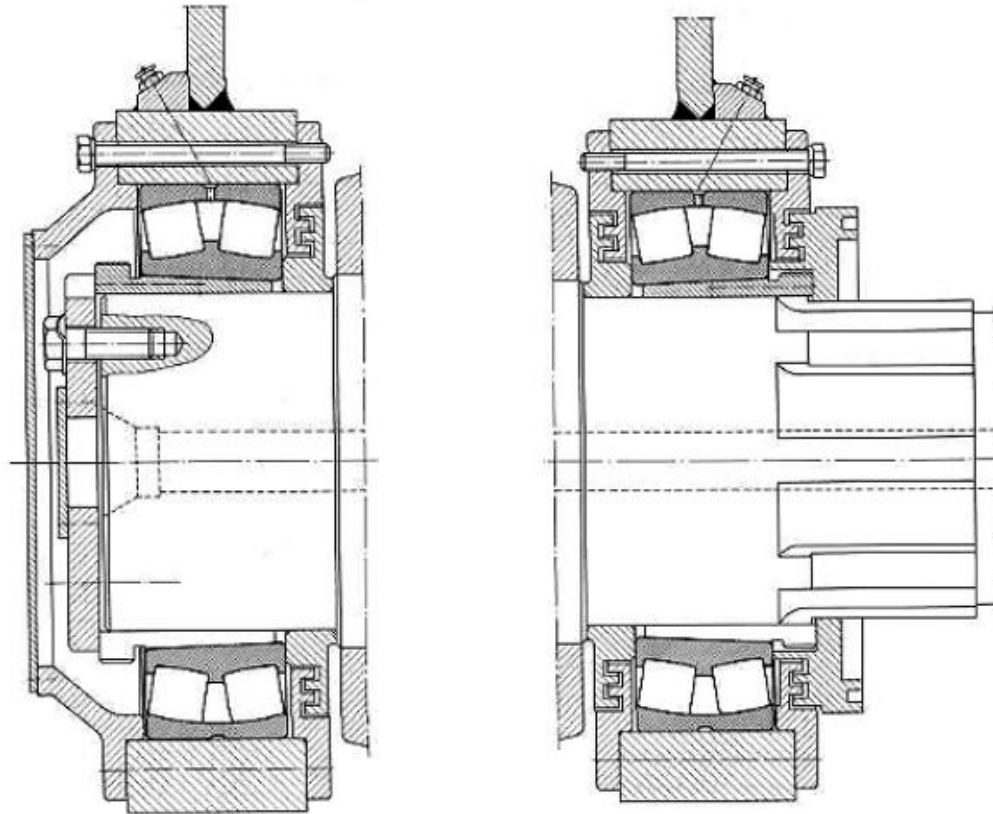
autocompensadores





## Mancais de rolamento

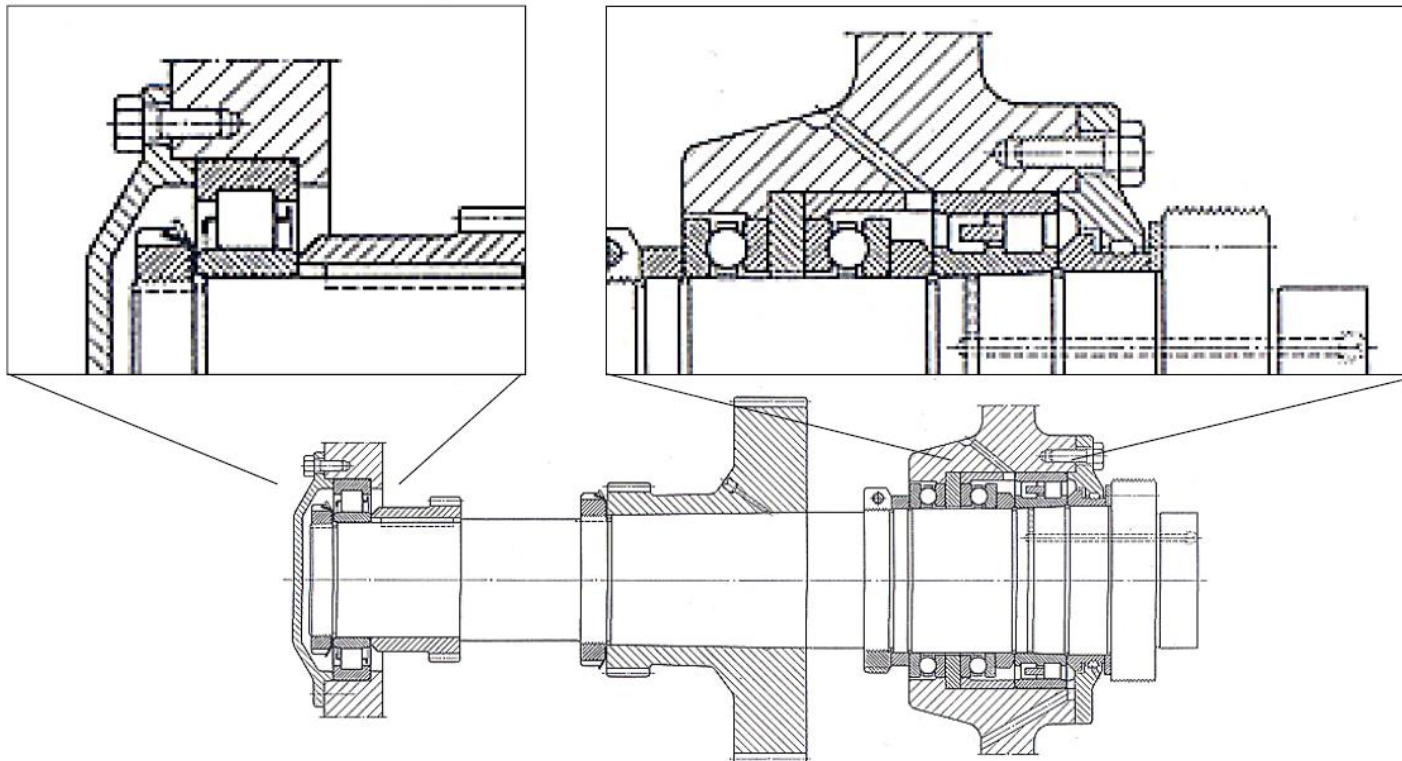
Exemplo do uso de mancais de rolo radiais autocompensadores





## Mancais de rolamento

Exemplo do uso de mancais radiais de rolo e de esfera

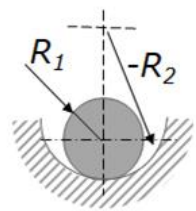
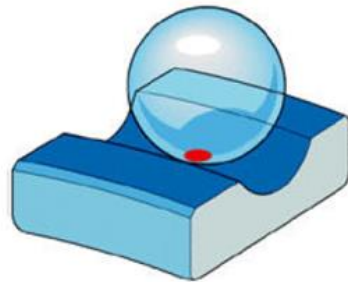




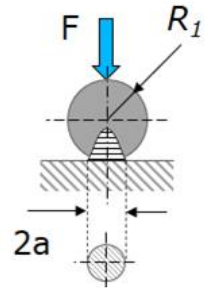
## Mancais de rolamento

### Classificação quanto a forma do elemento rolante

esféricos



esfera/cilindro



$$D = \frac{2R_1R_2}{R_1 + R_2}$$

Área de contato

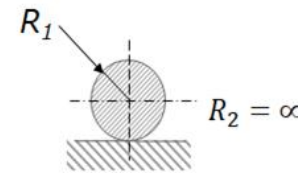
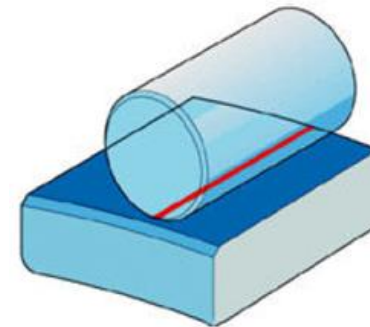
Pressão de contato máxima

$$E = \frac{2E_1E_2}{E_1 + E_2}$$

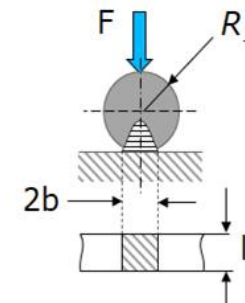
$$a = \sqrt[3]{\frac{0,75(1-\nu^2)FD}{E}}$$

$$P_{max} = 1,5 \frac{F}{a^2\pi}$$

Cilíndricos/cônicos



cilindro/plano



$$E = \frac{2E_1E_2}{E_1 + E_2}$$

Área de contato

Pressão de contato máxima

$$D = \frac{2R_1R_2}{R_1 + R_2}$$

$$b = \sqrt{\frac{4FD(1-\nu^2)}{\pi El}}$$

$$P_{max} = \frac{2F}{\pi b l}$$

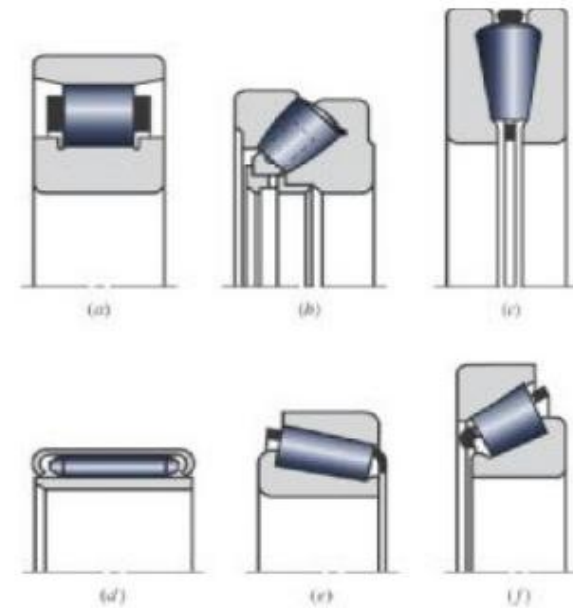
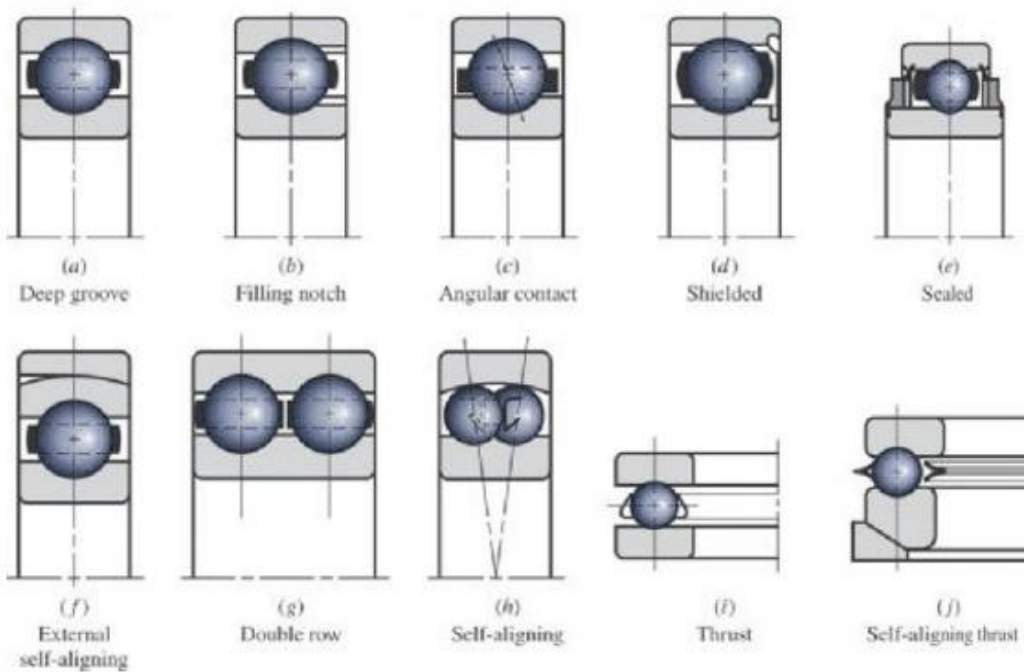


## Mancais de rolamento

### Tipos de elementos rolante

esféricos

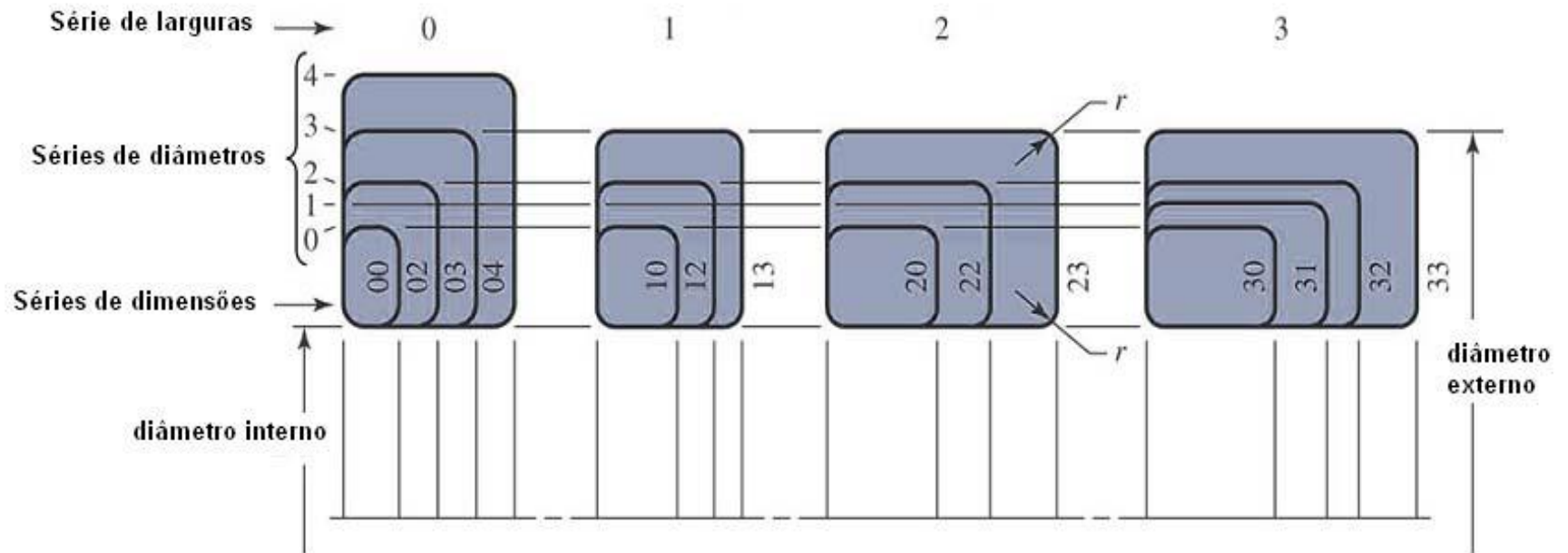
Cilíndricos/cônicos





## Mancais de rolamento

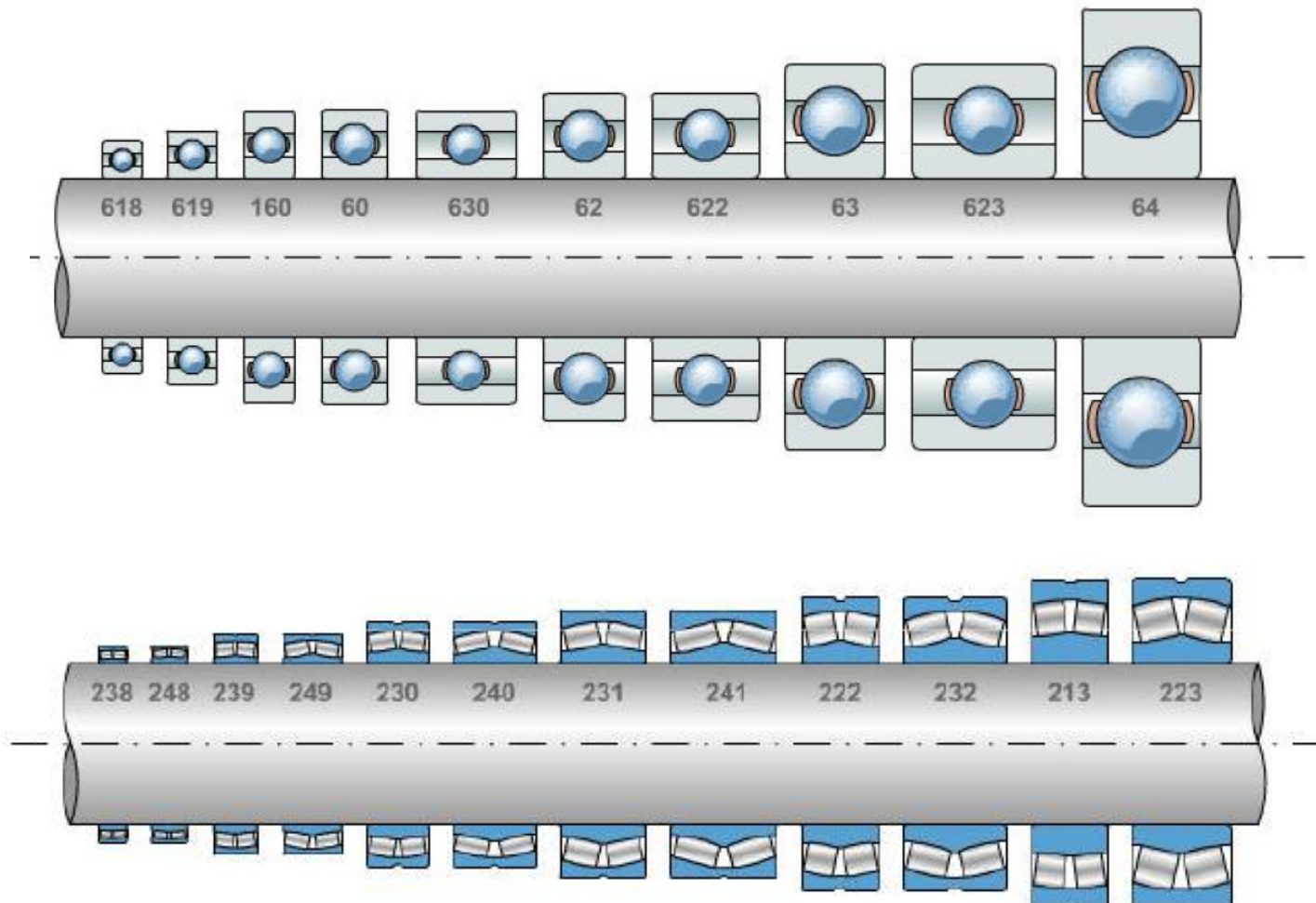
### Classes de dimensões





## Mancais de rolamento

### Classes de dimensões

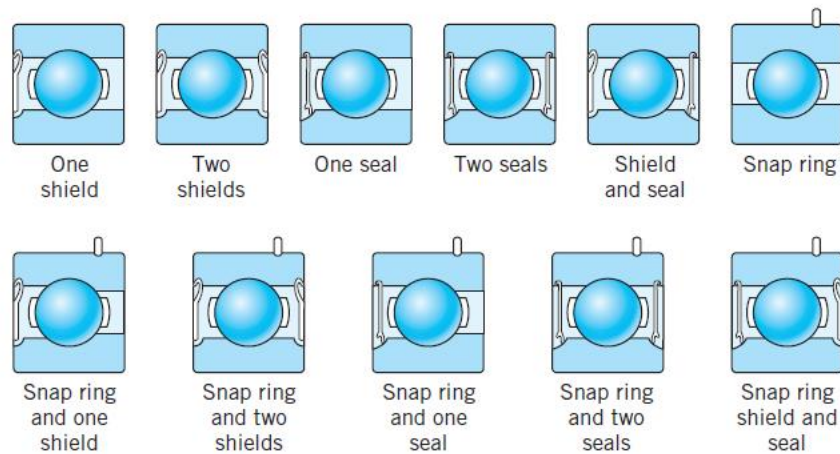
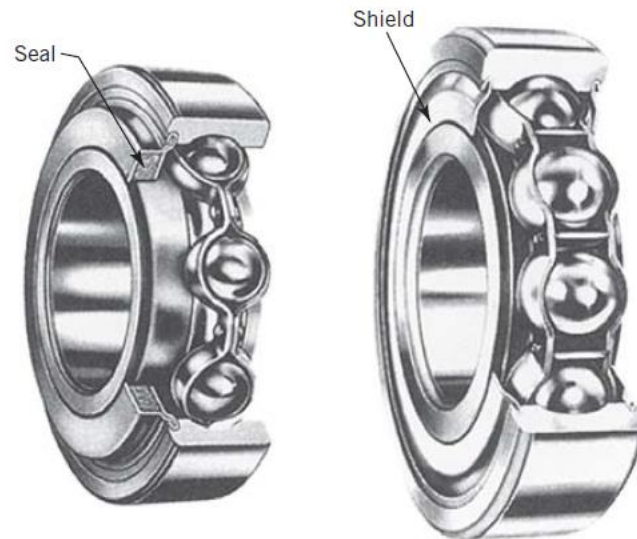






## Mancais de rolamento

### Classes de dimensões





## Mancais de rolamento

### Precisão

#### Tolerâncias geométricas e dimensionais

- › Tolerances for bore and outside diameters, ring and bearing width
- › Tolerances for inscribed and circumscribed circle diameters of rollers
- › Tolerances for chamfer dimensions
- › Tolerances for width variation
- › Tolerances for tapered bore diameters

#### Precisão de giro (radial e axial)

- › Permissible radial run-out of inner and outer rings
- › Permissible face run-out with raceway inner and outer rings
- › Permissible inner ring face run-out with bore
- › Permissible outer ring variation of outside surface generatrix inclination with face
- › Permissible raceway-to-back-face thickness variation of thrust bearings



## Mancais de rolamento

### Classes de tolerâncias

ABEC SYSTEM	ISO SYSTEM	DIN SYSTEM
ABEC 1	Normal	P0
ABEC 3	Class 6	P6
ABEC 5	Class 5	P5
ABEC 7	Class 4	P4
ABEC 9	Class 2	P2

System bearing type			Precision bearing class			
Metric	Timken	Tapered roller bearings	C	B	A	AA
		Crossed roller bearings	S	P	–	–
	ISO/DIN	All bearing types	P5	P4	P2	–
	ABMA	Non-tapered roller bearings	RBEC 5	RBEC 7	RBEC 9	–
		Ball bearings	ABEC 5	ABEC 7	ABEC 9	–
		Tapered roller bearings	C	B	A	–



## Mancais de rolamento

### Classes de tolerâncias

Referenced from ANSI/ABMA Std. 20

Inner Ring:  $0.6\text{mm} < d \leq 2.5\text{mm}$

Unit:  $\mu\text{m}$

Grade	Dimensional Difference				Radial Runout $K_{ra}$ MAX	Perpendicularity $S_{\perp}$ MAX	Axial Runout $S_{sa}$ MAX	Dimensional Difference of Width		Variation of Width $V_{sa}$ MAX
	$\Delta d_{ep}$		$\Delta d_s$					$\Delta B_s$		
	High	Low	High	Low				High	Low	
1	0	-8	-	-	10	-	15	0	-40	12
3	0	-7	-	-	5	-	10	0	-40	12
5	0	-5	-	-	4	7	7	0	-40	5
7	0	-4	0	-4	2.5	3	3	0	-40	2.5
9	0	-2.5	0	-2.5	1.5	1.5	1.5	0	-40	1.5

Inner Ring:  $2.5\text{mm} < d \leq 10\text{mm}$

Unit:  $\mu\text{m}$

Grade	Dimensional Difference				Radial Runout $K_{ra}$ MAX	Perpendicularity $S_{\perp}$ MAX	Axial Runout $S_{sa}$ MAX	Dimensional Difference of Width		Variation of Width $V_{sa}$ MAX
	$\Delta d_{ep}$		$\Delta d_s$					$\Delta B_s$		
	High	Low	High	Low				High	Low	
1	0	-8	-	-	10	-	20	0	-120	15
3	0	-7	-	-	6	-	15	0	-120	15
5	0	-5	-	-	4	7	7	0	-40	5
7	0	-4	0	-4	2.5	3	3	0	-40	2.5
9	0	-2.5	0	-2.5	1.5	1.5	1.5	0	-40	1.5

Inner Ring:  $10\text{mm} < d \leq 18\text{mm}$

Unit:  $\mu\text{m}$

Grade	Dimensional Difference				Radial Runout $K_{ra}$ MAX	Perpendicularity $S_{\perp}$ MAX	Axial Runout $S_{sa}$ MAX	Dimensional Difference of Width		Variation of Width $V_{sa}$ MAX
	$\Delta d_{ep}$		$\Delta d_s$					$\Delta B_s$		
	High	Low	High	Low				High	Low	
1	0	-8	-	-	10	-	20	0	-120	20
3	0	-7	-	-	7	-	20	0	-120	20
5	0	-5	-	-	4	7	7	0	-80	5
7	0	-4	0	-4	2.5	3	3	0	-80	2.5
9	0	-2.5	0	-2.5	1.5	1.5	1.5	0	-80	1.5

Referenced from ANSI/ABMA Std. 20.0

Outer Ring:  $2.5\text{mm} < D \leq 6\text{mm}$

Unit:  $\mu\text{m}$

Grade	Dimensional Difference				Radial Runout $K_{ra}$ MAX	Perpendicularity $S_{\perp}$ MAX	Axial Runout $S_{sa}$ MAX	Dimensional Difference of Width		Variation of Width $V_{ca}$ MAX
	$\Delta D_{ep}$		$\Delta D_s$					$\Delta C_s$		
	High	Low	High	Low				High	Low	
1	0	-8	-	-	15	-	15	0	-40	12
3	0	-7	-	-	8	-	10	0	-40	12
5	0	-5	-	-	5	8	8	0	-40	5
7	0	-4	0	-4	3	4	5	0	-40	2.5
9	0	-2.5	0	-2.5	1.5	1.5	1.5	0	-40	1.5

Outer Ring:  $6\text{mm} < D \leq 18\text{mm}$

Unit:  $\mu\text{m}$

Grade	Dimensional Difference				Radial Runout $K_{ra}$ MAX	Perpendicularity $S_{\perp}$ MAX	Axial Runout $S_{sa}$ MAX	Dimensional Difference of Width		Variation of Width $V_{ca}$ MAX
	$\Delta D_{ep}$		$\Delta D_s$					$\Delta C_s$		
	High	Low	High	Low				High	Low	
1	0	-8	-	-	15	-	20	0	-120	15
3	0	-7	-	-	8	-	15	0	-120	15
5	0	-5	-	-	5	8	8	0	-40	5
7	0	-4	0	-4	3	4	5	0	-40	2.5
9	0	-2.5	0	-2.5	1.5	1.5	1.5	0	-40	1.5

Outer Ring:  $18\text{mm} < D \leq 30\text{mm}$

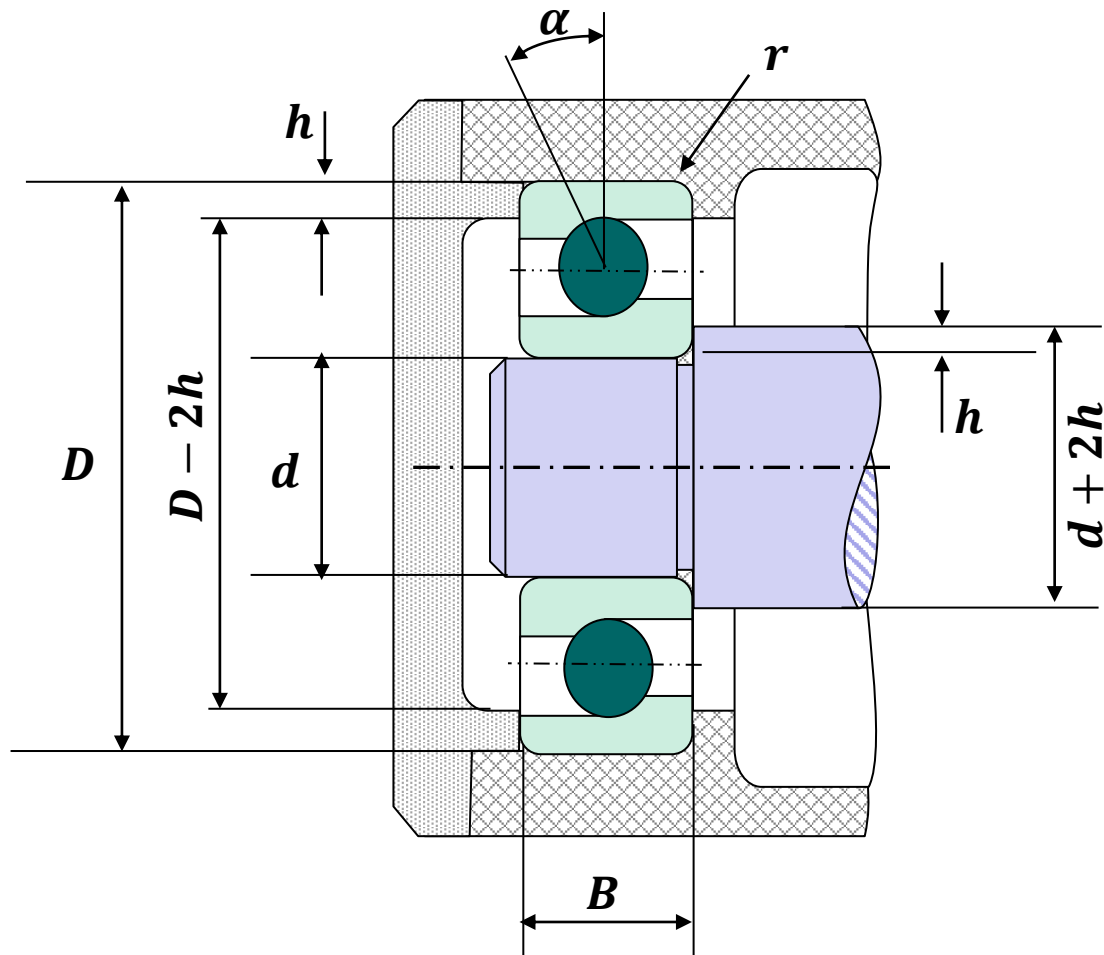
Unit:  $\mu\text{m}$

Grade	Dimensional Difference				Radial Runout $K_{ra}$ MAX	Perpendicularity $S_{\perp}$ MAX	Axial Runout $S_{sa}$ MAX	Dimensional Difference of Width		Variation of Width $V_{ca}$ MAX
	$\Delta D_{ep}$		$\Delta D_s$					$\Delta C_s$		
	High	Low	High	Low				High	Low	
1	0	-9	-	-	15	-	25	0	-120	20
3	0	-8	-	-	9	-	15	0	-120	20
5	0	-6	-	-	6	8	8	0	-80	5
7	0	-5	0	-5	4	4	5	0	-80	2.5
9	0	-4	0	-4	2.5	1.5	2.5	0	-80	1.5



## Mancais de rolamento

### Dimensionamento





## Mancais de rolamento

### Dimensionamento

$$L = L_R \left( \frac{C}{F_r} \right)^{3,33}$$

*capacidade nominal*

*Vida correspondente a  $9 \times 10^6$  rotações*

*Vida correspondente ao carregamento radial  $F_r$*

$$C_{req} = F_R \left( \frac{L}{L_r} \right)^{0,3}$$

*Capacidade nominal corrigida em função da aplicação*



## Mancais de rolamento

### Dimensionamento

Bearing Rated Capacities,  $C$ , for  $L_R = 90 \times 10^6$   
 Revolution Life with 90 Percent Reliability

Bore (mm)	Radial Ball, $\alpha = 0^\circ$			Angular Ball, $\alpha = 25^\circ$			Roller			Bore (mm)	Radial Ball, $\alpha = 0^\circ$			Angular Ball, $\alpha = 25^\circ$			Roller		
	L00 Xlt (kN)	200 lt (kN)	300 med (kN)	L00 Xlt (kN)	200 lt (kN)	300 med (kN)	1000 Xlt (kN)	1200 lt (kN)	1300 med (kN)		L00 Xlt (kN)	200 lt (kN)	300 med (kN)	L00 Xlt (kN)	200 lt (kN)	300 med (kN)	1000 Xlt (kN)	1200 lt (kN)	1300 med (kN)
10	1.02	1.42	1.90	1.02	1.10	1.88				80	14.2	18.4	28.0	16.6	22.5	35.5	17.3	26.2	51.6
12	1.12	1.42	2.46	1.10	1.54	2.05				85	15.0	22.5	30.0	17.2	26.5	38.5	18.0	30.7	55.2
15	1.22	1.56	3.05	1.28	1.66	2.85				90	17.2	25.0	32.5	20.0	28.0	41.5		37.4	65.8
17	1.32	2.70	3.75	1.36	2.20	3.55	2.12	3.80	4.90	95	18.0	27.5	38.0	21.0	31.0	45.5		44.0	65.8
20	2.25	3.35	5.30	2.20	3.05	5.80	3.30	4.40	6.20	100	18.0	30.5	40.5	21.5	34.5		20.9	48.0	72.9
25	2.45	3.65	5.90	2.65	3.25	7.20	3.70	5.50	8.50	105	21.0	32.0	43.5	24.5	37.5			49.8	84.5
30	3.35	5.40	8.80	3.60	6.00	8.80	2.40 <sup>a</sup>	8.30	10.0	110	23.5	35.0	46.0	27.5	41.0	55.0	29.4	54.3	85.4
35	4.20	8.50	10.6	4.75	8.20	11.0	3.10 <sup>a</sup>	9.30	13.1	120	24.5	37.5		28.5	44.5			61.4	100.1
40	4.50	9.40	12.6	4.95	9.90	13.2	7.20	11.1	16.5	130	29.5	41.0		33.5	48.0	71.0	48.9	69.4	120.1
45	5.80	9.10	14.8	6.30	10.4	16.4	7.40	12.2	20.9	140	30.5	47.5		35.0	56.0			77.4	131.2
50	6.10	9.70	15.8	6.60	11.0	19.2	5.10 <sup>a</sup>	12.5	24.5	150	34.5			39.0	62.0		58.7	83.6	
55	8.20	12.0	18.0	9.00	13.6	21.5	11.3	14.9	27.1	160								113.4	
60	8.70	13.6	20.0	9.70	16.4	24.0	12.0	18.9	32.5	180	47.0			54.0			97.9	140.1	
65	9.10	16.0	22.0	10.2	19.2	26.5	12.2	21.1	38.3	200								162.4	
70	11.6	17.0	24.5	13.4	19.2	29.5		23.6	44.0	220								211.3	
75	12.2	17.0	25.5	13.8	20.0	32.5		23.6	45.4	240								258.0	



## Mancais de rolamento

### Dimensionamento

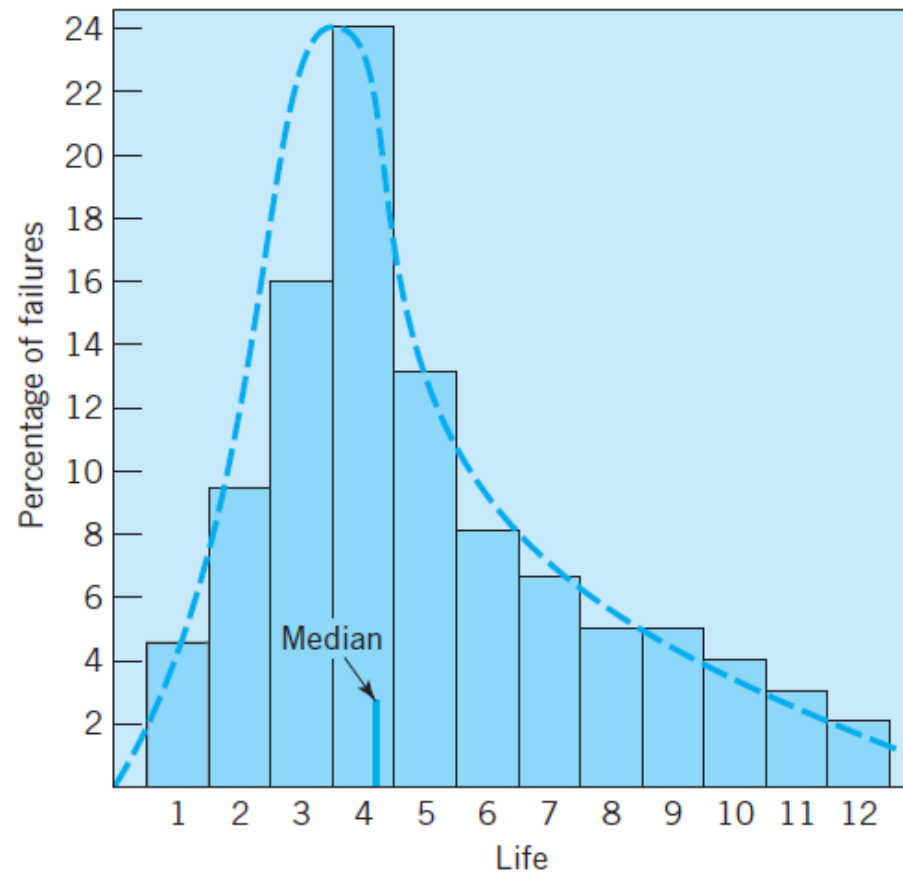
- A vida padrão é comumente designada como a vida  $L_{10}$ .
- A vida  $L_{10}$  corresponde a uma probabilidade de falha de 10%, isso representa que 90% dos rolamentos não falharam quando essa vida é atingida, correspondendo a 90% de confiabilidade
- Os testes mostram que a vida média de rolamentos (rolamentos de esferas em particular) é cerca de cinco vezes a vida de fadiga padrão para  $L_{10}$
- Muitos projetos exigem mais de 90% de confiabilidade
- A probabilidade de falha de mancais de elementos rolantes não segue uma distribuição gaussiana, mas sim um distribuição de Weibull
- Isso leva a necessidade do ajuste da curva de vida por meio do fator de confiabilidade  $K_r$





## Mancais de rolamento

### Dimensionamento

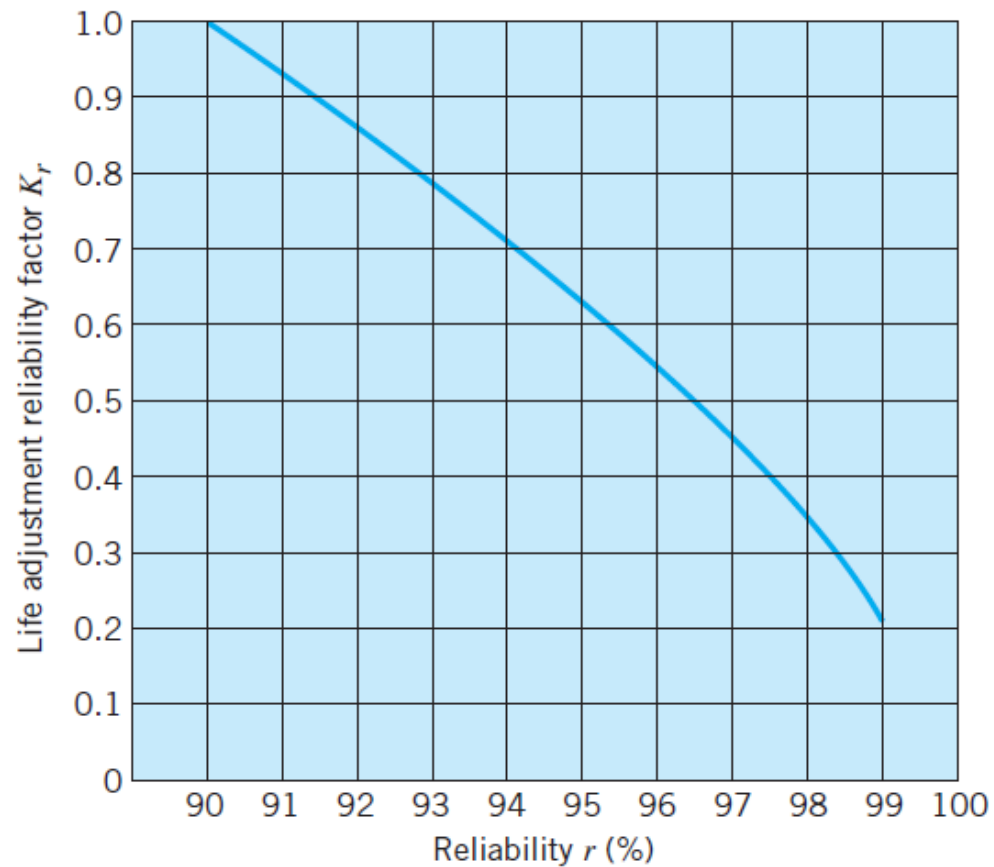


Distribuição de Weibull para vida em fadiga de mancais de elementos rolantes



## Mancais de rolamento

### Dimensionamento



Fator de confiabilidade  $K_r$



## Mancais de rolamento

### Dimensionamento

*corrigindo  $L_r$  e  $C_{req}$  em termos de  $K_r$ , temos  $\Rightarrow$*

$$L = L_R \left( \frac{C}{F_r} \right)^{3,33}$$



$$L = K_r L_R \left( \frac{C}{F_r} \right)^{3,33}$$

$$C_{req} = F_R \left( \frac{L}{L_r} \right)^{0,3}$$



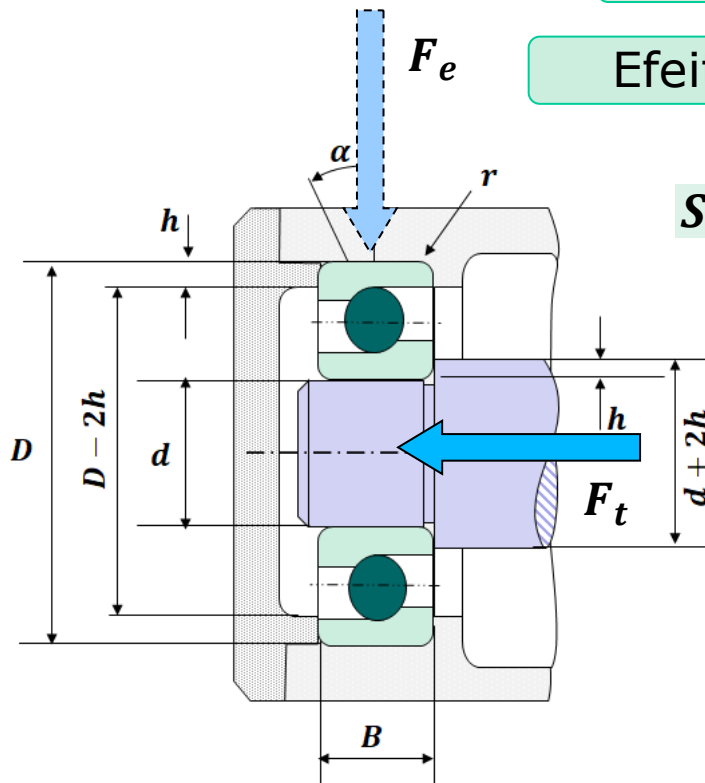
$$C_{req} = F_R \left( \frac{L}{K_r \cdot L_r} \right)^{0,3}$$



## Mancais de rolamento

Dimensionamento

Efeito do carregamento axial



*Sendo  $F_e$  o carregamento radial equivalente*

*para mancais rígidos de esfera  $\Rightarrow \alpha = 0^\circ$*

*para:  $0 < F_t/F_r < 0.35$ ,  $F_e = F_r$*

*para:  $0.35 < F_t/F_r < 10$ ,  $F_e = F_r \left[ 1 + 1.115 \left( \frac{F_t}{F_r} - 0.35 \right) \right]$*

*para:  $F_t/F_r > 10$ ,  $F_e = 1.176 F_t$*

*para mancais de contato angular  $\Rightarrow \alpha = 25^\circ$*

*para:  $0 < F_t/F_r < 0.68$ ,  $F_e = F_r$*

*para:  $0.68 < F_t/F_r < 10$ ,  $F_e = F_r \left[ 1 + 0.870 \left( \frac{F_t}{F_r} - 0.68 \right) \right]$*

*para:  $F_t/F_r > 10$ ,  $F_e = 0.911 F_t$*



## Mancais de rolamento

### Dimensionamento

### Efeito de choques e impactos

- O dimensionamento de mancais de elementos rolantes em geral é feito para condições de carregamento uniforme.
- Na presença de choques ou impactos, o fator  $K_a$  deve ser aplicado para corrigir a vida

#### Factors $K_a$

Type of Application	Ball Bearing	Roller Bearing
Uniform load, no impact	1.0	1.0
Gearing	1.0–1.3	1.0
Light impact	1.2–1.5	1.0–1.1
Moderate impact	1.5–2.0	1.1–1.5
Heavy impact	2.0–3.0	1.5–2.0



## Mancais de rolamento

### Dimensionamento

*corrigindo  $L_r$  em termos de  $K_a$ ,*

*e expressando o carregamento em termos de  $F_e$  temos  $\Rightarrow$*

$$L = K_r L_R \left( \frac{C}{F_r} \right)^{3,33}$$



$$L = K_r L_R \left( \frac{C}{K_a \cdot F_e} \right)^{3,33}$$

$$C_{req} = F_R \left( \frac{L}{K_r \cdot L_r} \right)^{0,3}$$



$$C_{req} = K_a \cdot F_e \left( \frac{L}{K_r \cdot L_r} \right)^{0,3}$$



## Mancais de rolamento

### Dimensionamento

#### Representative Bearing Design Lives

Type of Application	Design Life (thousands of hours)
Instruments and apparatus for infrequent use	0.1–0.5
Machines used intermittently, where service interruption is of minor importance	4–8
Machines intermittently used, where reliability is of great importance	8–14
Machines for 8-hour service, but not every day	14–20
Machines for 8-hour service, every working day	20–30
Machines for continuous 24-hour service	50–60
Machines for continuous 24-hour service where reliability is of extreme importance	100–200

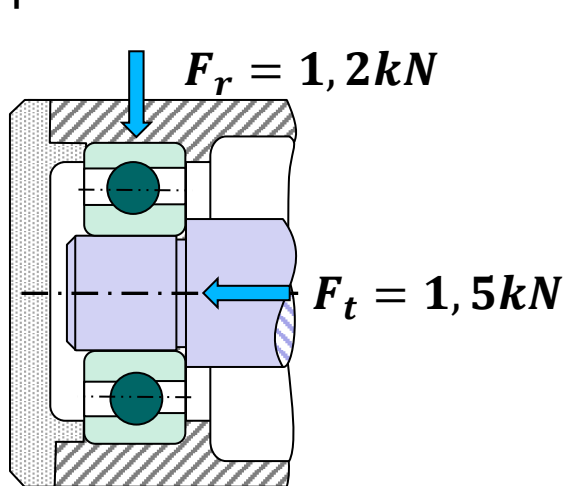


## Mancais de rolamento

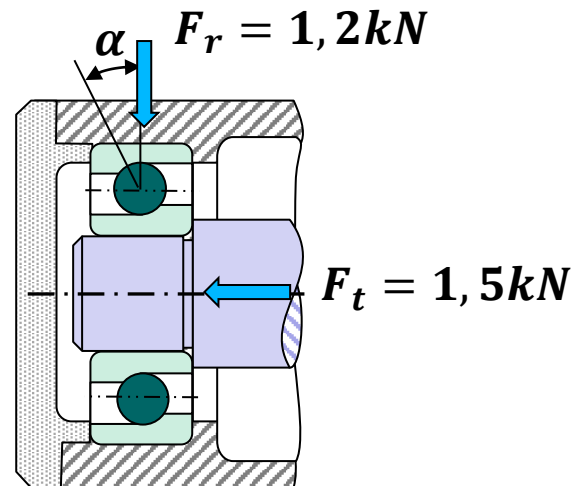
### Exemplo

Selecione um rolamento de esferas para uso no eixo de um prensa industrial. A prensa operará de forma contínua em um turno de 8h/dia a 1800 rpm.

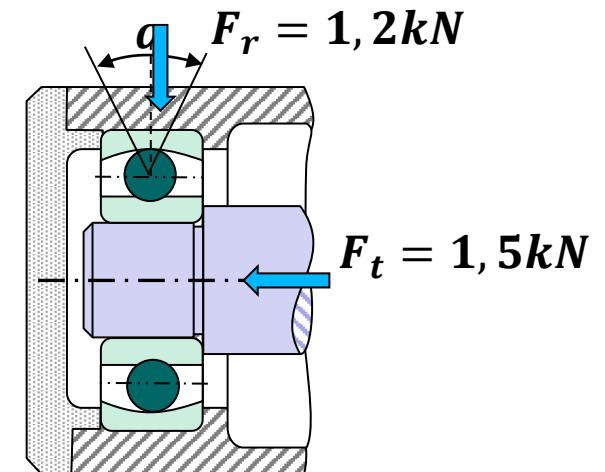
Cargas radiais e axiais são 1,2kN e 1,5kN, respectivamente, com impacto leve a moderado.



rolamento rígido de esferas



rolamento de contato angular



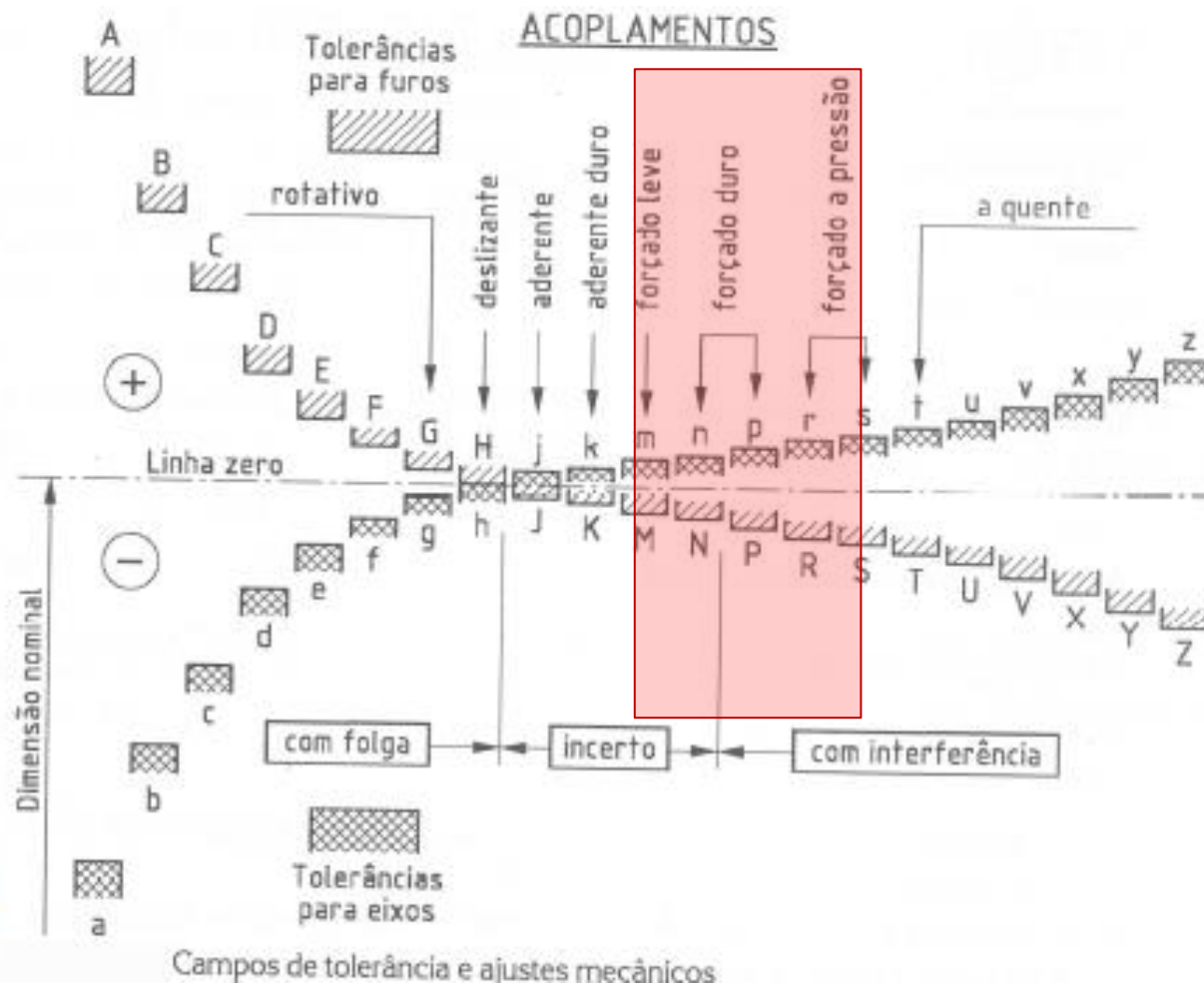
rolamento autocompensador





## Mancais de rolamento

### Exemplo





## Mancais de rolamento

### Exemplo

#### **Premissas básicas:**

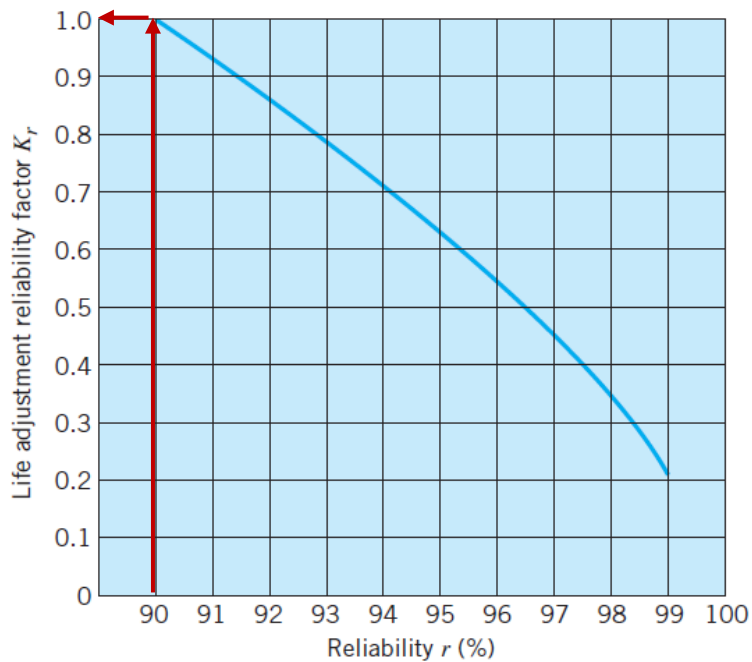
- Projeto conservador para impacto leve a moderado.
- É necessária uma vida útil de projeto de 8 horas por dia de serviço contínuo.
- É necessária uma confiabilidade de 90%
- Tanto um rolamento de esferas radial quanto um angular podem ser selecionado. Um rolamento autocompensador vai depender da amplitude da flexão na ponta do eixo.
- A vida do rolamento de esferas varia inversamente com a potência da carga
- O ajuste prensado não afeta a vida útil do rolamento.



**Mancais de rolamento**

**Exemplo**

**Fator de confiabilidade  $K_r$**



**$K_r = 1$**

**Fator de impacto  $K_a$   $K_a = 1,5$**

Factors  $K_a$

Type of Application	Ball Bearing	Roller Bearing
Uniform load, no impact	1.0	1.0
Gearing	1.0–1.3	1.0
Light impact	1.2–1.5	1.0–1.1
Moderate impact	1.5–2.0	1.1–1.5
Heavy impact	2.0–3.0	1.5–2.0

**$L_r = 30 \times 10^3$  horas**

Representative Bearing Design Lives

Type of Application	Design Life (thousands of hours)
Instruments and apparatus for infrequent use	0.1–0.5
Machines used intermittently, where service interruption is of minor importance	4–8
Machines intermittently used, where reliability is of great importance	8–14
Machines for 8-hour service, but not every day	14–20
Machines for 8-hour service, every working day	20–30
Machines for continuous 24-hour service	50–60
Machines for continuous 24-hour service where reliability is of extreme importance	100–200



## Mancais de rolamento

### Exemplo

Calculando o carregamento radial equivalente  $F_e$

$$F_r = 1,2 \text{ kN} \quad \frac{F_t}{F_r} = \frac{1,5}{1,2} = 1,25$$
$$F_t = 1,5 \text{ kN}$$

para mancais rígidos de esfera  $\Rightarrow \alpha = 0^\circ$

para:  $0 < F_t/F_r < 0,35$ ,  $F_e = F_r$

para:  $0,35 < F_t/F_r < 10$ ,  $F_e = F_r \left[ 1 + 1,115 \left( \frac{F_t}{F_r} - 0,35 \right) \right]$

para:  $F_t/F_r > 10$ ,  $F_e = 1,176 F_t$

$$F_e = F_r \left[ 1 + 1,115 \left( \frac{F_t}{F_r} - 0,35 \right) \right]$$

$$F_{e_{esf}} = 2,4 \text{ kN}$$

para mancais de contato angular  $\Rightarrow \alpha = 25^\circ$

para:  $0 < F_t/F_r < 0,68$ ,  $F_e = F_r$

para:  $0,68 < F_t/F_r < 10$ ,  $F_e = F_r \left[ 1 + 0,870 \left( \frac{F_t}{F_r} - 0,68 \right) \right]$

para:  $F_t/F_r > 10$ ,  $F_e = 0,911 F_t$

$$F_e = F_r \left[ 1 + 0,870 \left( \frac{F_t}{F_r} - 0,68 \right) \right]$$

$$F_{e_{cont}} = 1,8 \text{ kN}$$



## Mancais de rolamento

### Exemplo

$$K_r = 1$$

$$K_a = 1,5$$

$$L_r = 30 \times 10^3$$

$$\text{Vida } L \text{ em [rpm]} = n \cdot L_r \text{ [min]}$$

$$L = 1800 \text{ rpm} \cdot 30 \times 10^3 \text{ h} \cdot 60 \text{ min/h}$$

$$L = 3240 \times 10^6 \text{ revoluções}$$

$$F_{esf} = 2,4 \text{ kN}$$

$$F_{cont} = 1,8 \text{ kN}$$

$$C_{req_{esf}} = 10,55 \text{ kN}$$

$$C_{req_{cont}} = 7,91 \text{ N}$$

$$C_{req} = K_a \cdot F_e \left( \frac{L}{K_r \cdot L_r} \right)^{0,3}$$



# Mancais de rolamento

## Exemplo

Bearing Rated Capacities,  $C$ , for  $L_R = 90 \times 10^6$   
 Revolution Life with 90 Percent Reliability

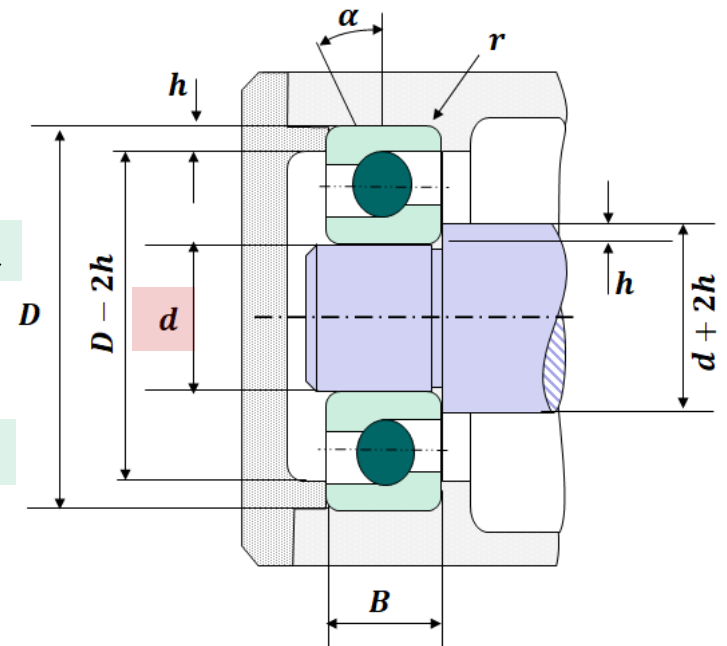
Bore (mm)	Radial Ball, $\alpha = 0^\circ$			Angular Ball, $\alpha = 25^\circ$			Roller		
	L00 Xlt (kN)	200 lt (kN)	300 med (kN)	L00 Xlt (kN)	200 lt (kN)	300 med (kN)	1000 Xlt (kN)	1200 lt (kN)	1300 med (kN)
10	1.02	1.42	1.90	1.02	1.10	1.88			
12	1.12	1.42	2.46	1.10	1.54	2.05			
15	1.22	1.56	3.05	1.28	1.66	2.85			
17	1.32	2.70	3.75	1.36	2.20	3.55	2.12	3.80	4.90
20	2.25	3.35	5.30	2.20	3.05	5.80	3.30	4.40	6.20
25	2.45	3.65	5.90	2.65	3.25	7.20	3.70	5.50	8.50
30	3.35	5.40	8.80	3.60	6.00	8.80	2.40 <sup>a</sup>	8.30	10.0
35	4.20	8.50	10.55	4.75	7.91	11.0	3.10 <sup>a</sup>	9.30	13.0
40	4.50	9.40	12.6	4.95	8.20	13.2	7.20	11.1	16.5
45	5.80	9.10	14.8	6.30	10.4	16.4	7.40	12.2	20.9
50	6.10	9.70	15.8	6.60	11.0	19.2	5.10 <sup>a</sup>	12.5	24.5
55	8.20	10.55	18.0	7.91	13.6	21.5	11.3	14.9	27.1
60	8.70	13.6	20.0	9.70	16.4	24.0	12.0	18.9	32.5
65	9.10	16.0	22.0	10.2	19.2	26.5	12.2	21.1	38.3
70	10.55	17.0	24.5	13.4	19.2	29.5	23.6	23.6	44.0
75	12.2	17.0	25.5	13.8	20.0	32.5	23.6	45.4	

$$C_{reqesf} = 10,55kN$$

$$C_{reqcont} = 7,91N$$

$$d_{cont} = 55mm$$

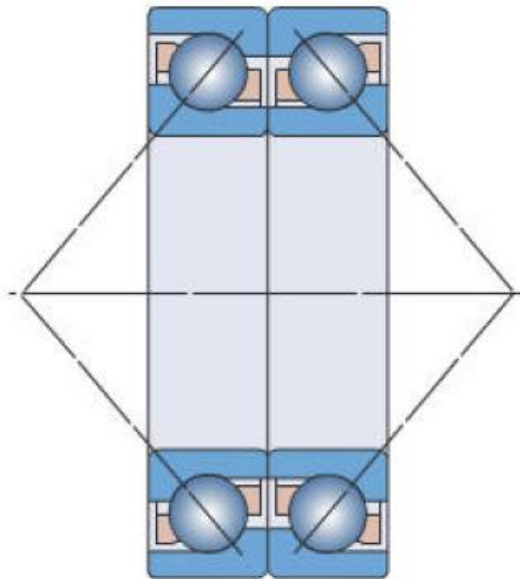
$$d_{esf} = 70mm$$



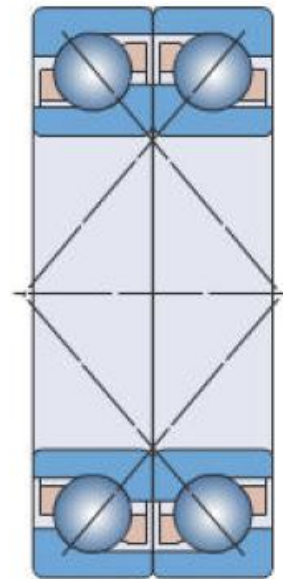


## Mancais de rolamento

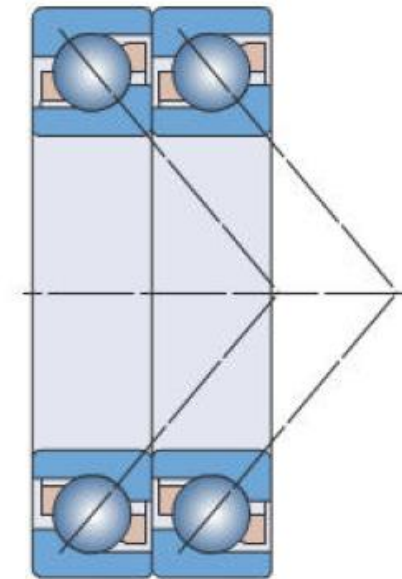
### Considerações de montagem



O-Anordnung



X-Anordnung

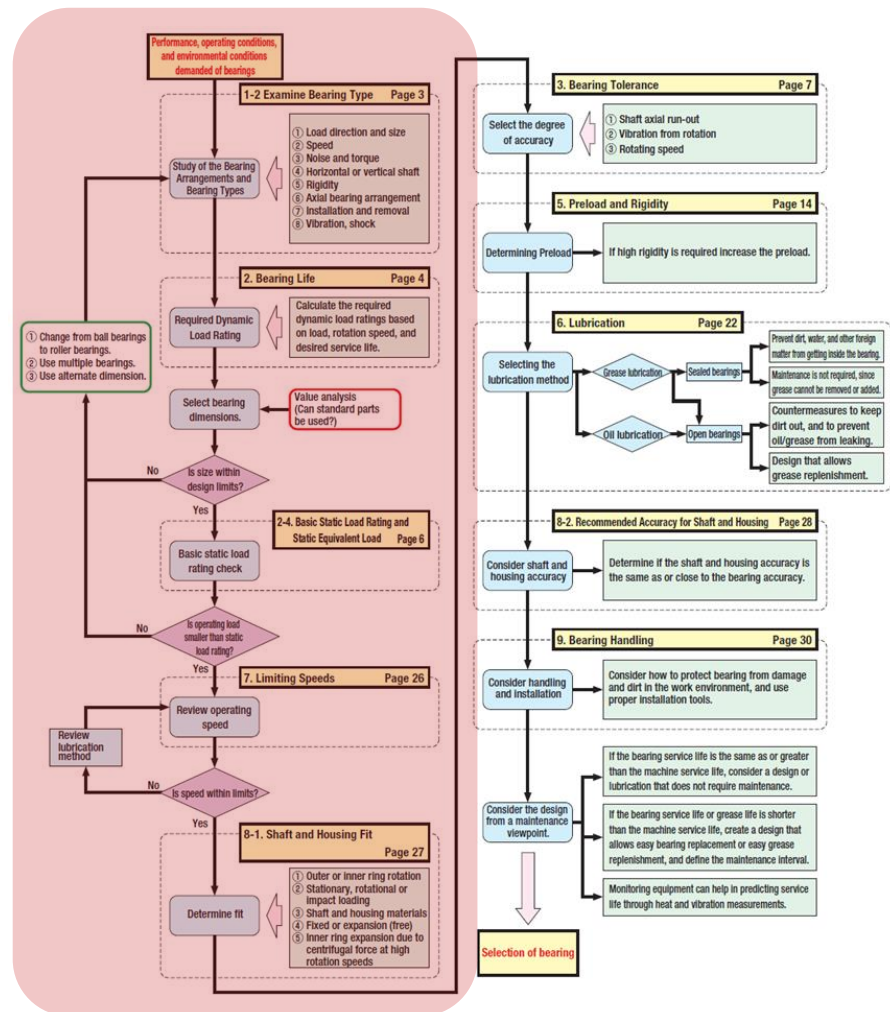


Tandem-Anordnung



# Mancais de rolamento

## Seleção

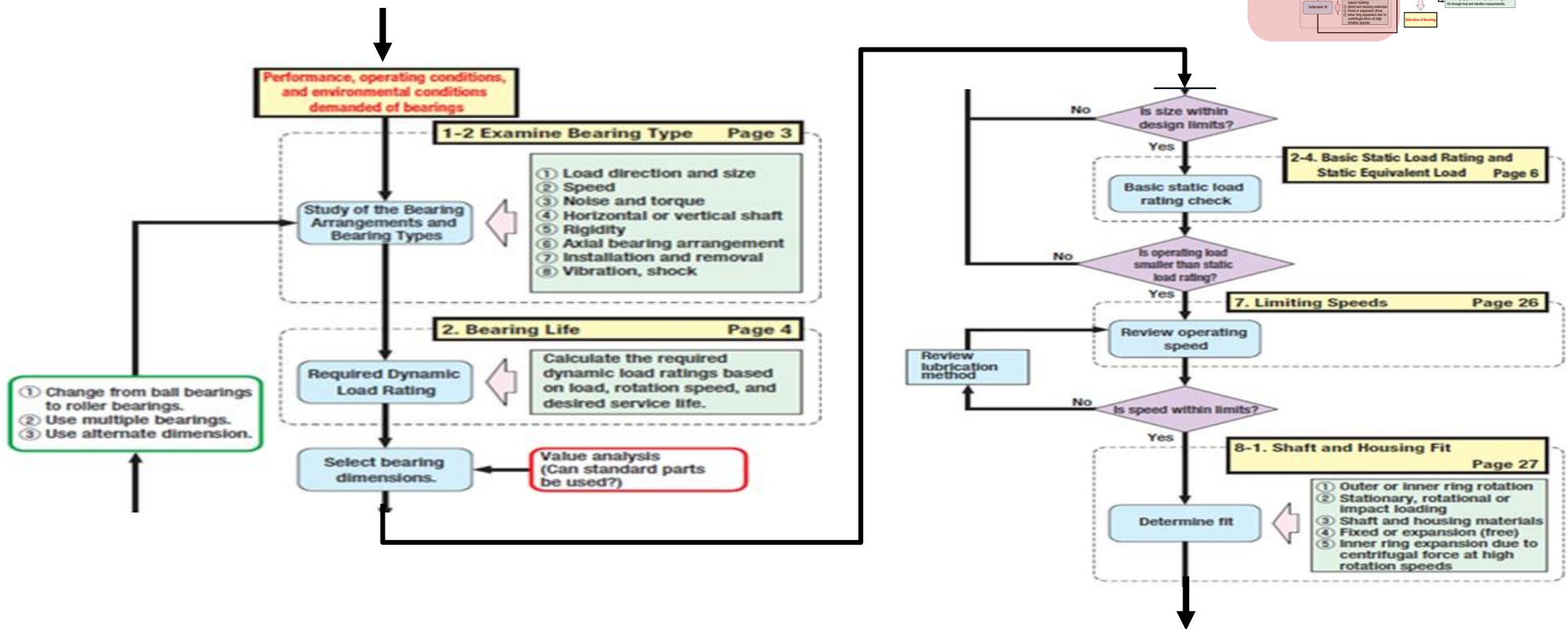
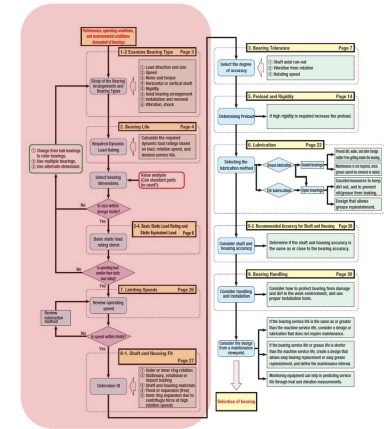






## Mancais de rolamento

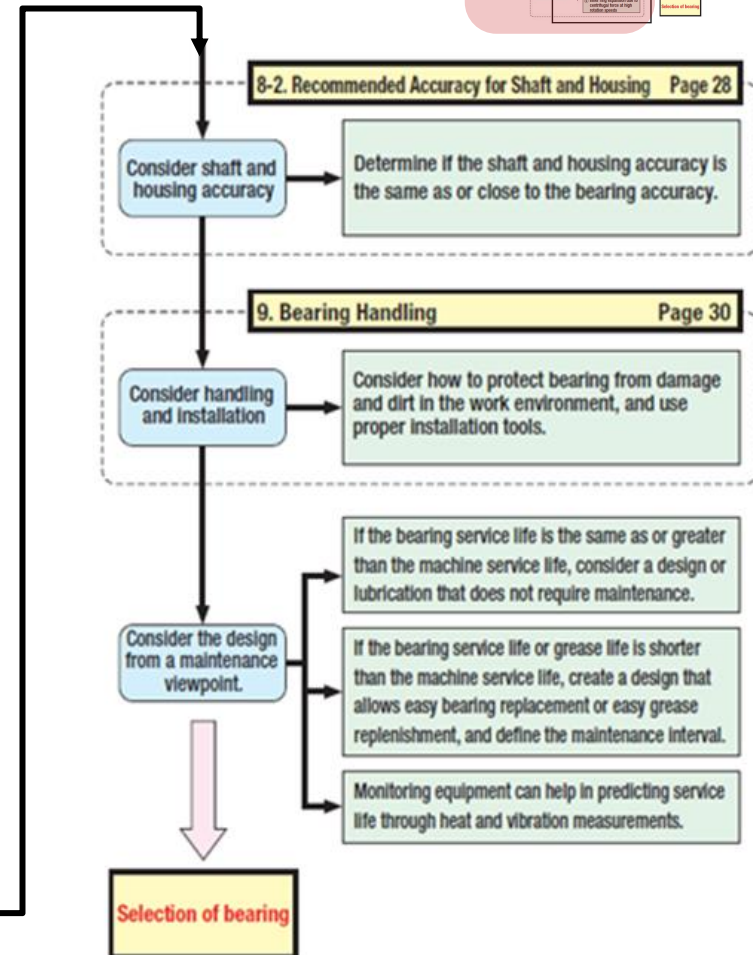
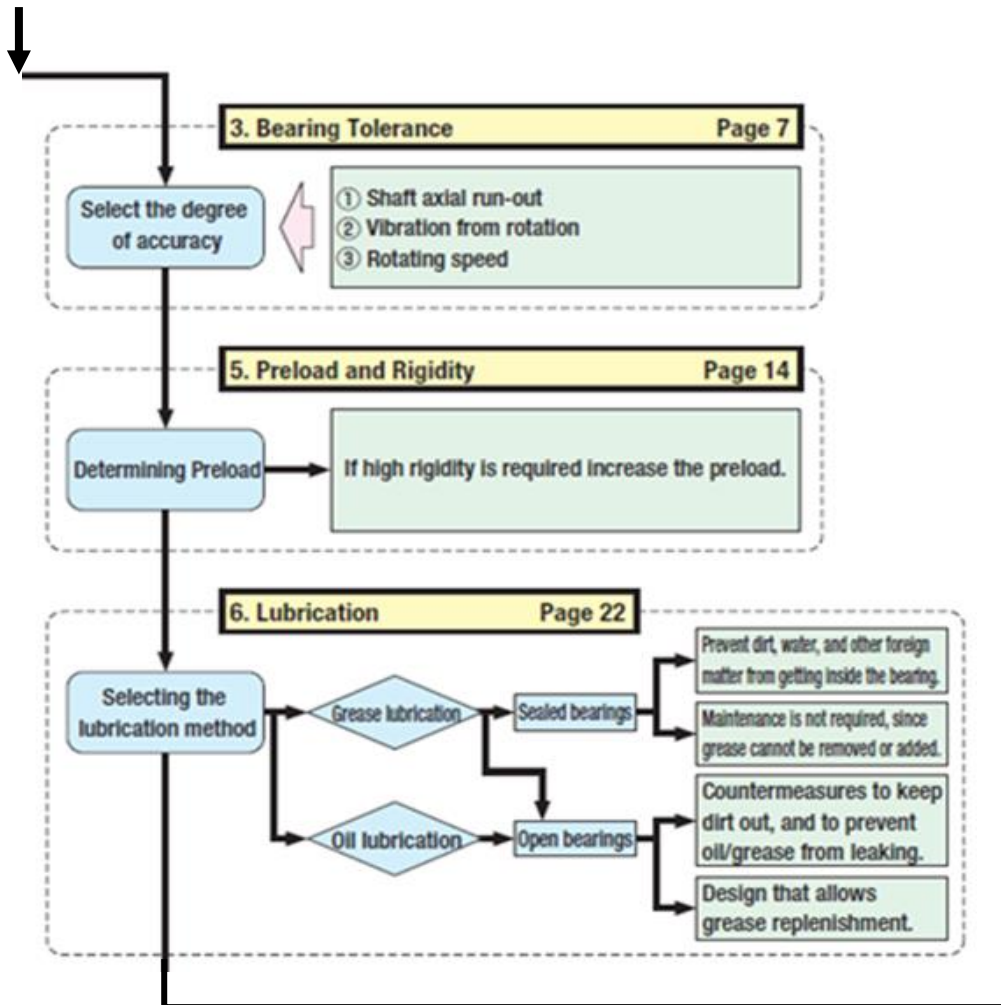
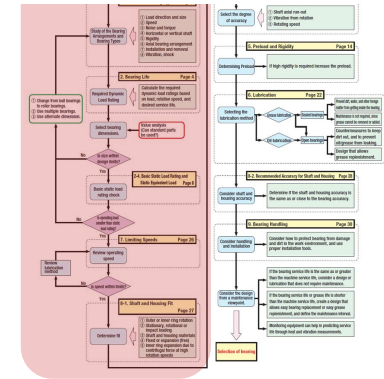
### Seleção





## Mancais de rolamento

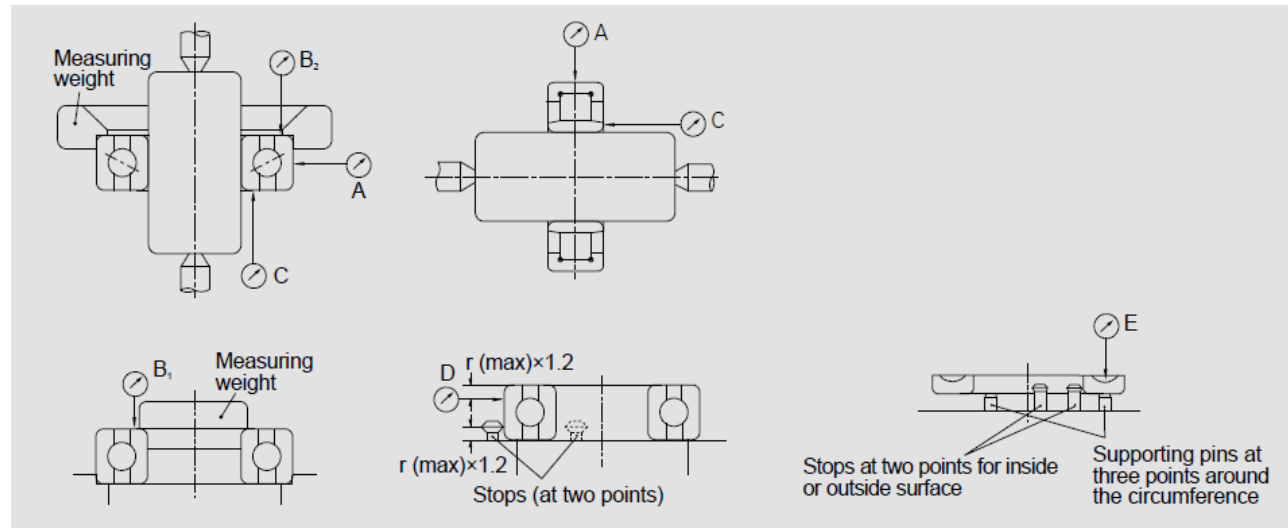
### Seleção





## Mancais de rolamento

### Erros de movimento



Running accuracy	Inner ring	Outer ring	Measuring point
$K_{ia}$	rotating	stationary	A
$K_{ea}$	stationary	rotating	A
$S_{ia}$	rotating	stationary	B <sub>1</sub>
$S_{ea}$	stationary	rotating	B <sub>2</sub>
$S_d$	rotating	stationary	C
$S_D$	–	rotating	D
$S_i, S_e$	Only the shaft or housing or central washer is to be rotated		E



## Mancais de rolamento

### Falhas em mancais de rolamento

#### Desalinhamento

Flexão dos eixos

Contaminação na interface

Montagem errada

Acabamento superficial

Ciclo de carregamento

Condições de lubrificação

Velocidade de operação

Tipo de lubrificante

Choques

Material do mancal

Sobrecargas

Tipo de elemento

Tipo de mancal

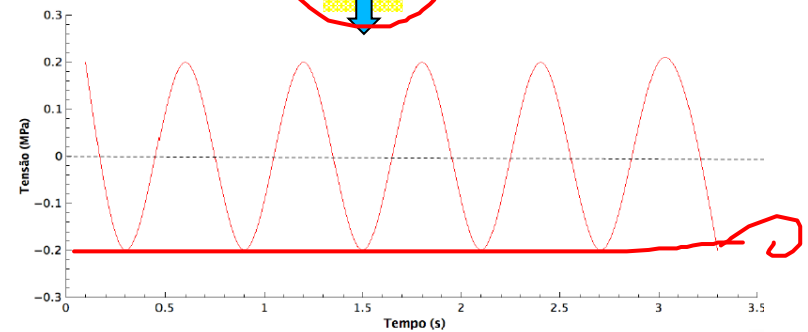
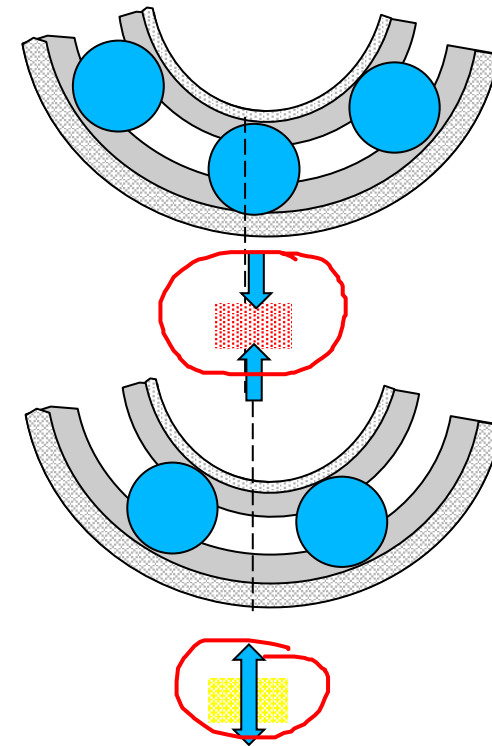
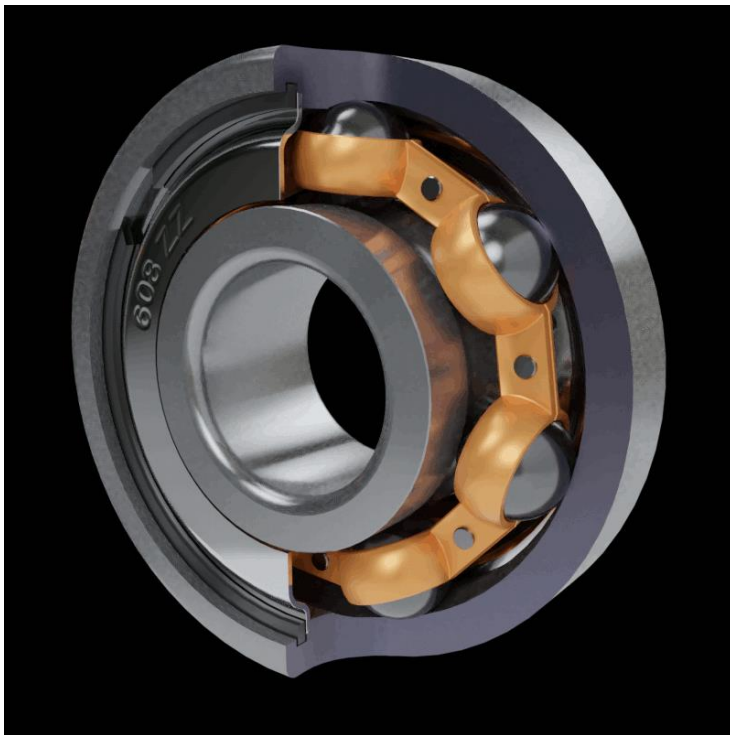
Seleção errada





## Mancais de rolamento

### Falhas em mancais de rolamento





## Mancais de rolamento

### Falhas em mancais de rolamento



(a)



(b)



(c)



(d)





**FIM DA AULA**